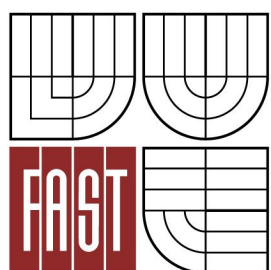




VYSOKÉ UČENÍ TECHNICKÉ V BRNĚ  
BRNO UNIVERSITY OF TECHNOLOGY



FAKULTA STAVEBNÍ  
ÚSTAV STAVEBNÍ MECHANIKY

FACULTY OF CIVIL ENGINEERING  
INSTITUTE OF STRUCTURAL MECHANICS

# NÁVRH A POSOUZENÍ SANACE HISTORICKÉ DŘEVĚNÉ KONSTRUKCE

DESIGN AND ASSESSMENT OF RECONSTRUCTION OF HISTORICAL TIMBER STRUCTURE

BAKALÁŘSKÁ PRÁCE  
BACHELOR'S THESIS

AUTOR PRÁCE  
AUTHOR

ĽUBICA NOVÁKOVÁ

VEDOUCÍ PRÁCE  
SUPERVISOR

Ing. LUDĚK BRDEČKO, Ph.D.



# VYSOKÉ UČENÍ TECHNICKÉ V BRNĚ

## FAKULTA STAVEBNÍ

<b>Studijní program</b>	B3607 Stavební inženýrství
<b>Typ studijního programu</b>	Bakalářský studijní program s prezenční formou studia
<b>Studijní obor</b>	3608R001 Pozemní stavby
<b>Pracoviště</b>	Ústav stavební mechaniky

## ZADÁNÍ BAKALÁŘSKÉ PRÁCE

**Student** Ľubica Nováková

**Název** Návrh a posouzení sanace historické dřevěné konstrukce

**Vedoucí bakalářské práce** Ing. Luděk Brdečko, Ph.D.

**Datum zadání  
bakalářské práce** 30. 11. 2012

**Datum odevzdání  
bakalářské práce** 24. 5. 2013

V Brně dne 30. 11. 2012

.....  
prof. Ing. Drahomír Novák, DrSc.  
Vedoucí ústavu

.....  
prof. Ing. Rostislav Drochytka, CSc.  
Děkan Fakulty stavební VUT

## **Podklady a literatura**

- [1] EN 1990: Eurokód: Zásady navrhování konstrukcí.
- [2] EN 1991-1-1-1 Zatížení konstrukcí – Část 1-1: Obecná zatížení – Objemové tíhy, vlastní tíha a užitná zatížení pozemních staveb.
- [3] EN 1991-1-1-3 Zatížení konstrukcí – Část 1-3: Obecná zatížení – Zatížení sněhem.
- [4] EN 1991-1-1-4 Zatížení konstrukcí – Část 1-4: Obecná zatížení – Zatížení větrem.
- [5] EN 1995-1-1: Navrhování dřevěných konstrukcí, Část 1-1: Společná pravidla a pravidla pro pozemní stavby.
- [6] ČSN 73 1702: Navrhování, výpočet a posuzování dřevěných stavebních konstrukcí – Obecná pravidla pro pozemní stavby
- [7] BOHUMIL KOŽELOUH (překlad a redakce) Dřevěné konstrukce podle Eurokódu 5, Step 1: Navrhování a konstrukční materiály, KODR, Zlín, 2004.
- [8] BOHUMIL KOŽELOUH (překlad a redakce) Dřevěné konstrukce podle Eurokódu 5, Step 2: Navrhování detailů a nosných systémů, KODR, Zlín, 2004.
- [9] BOHUMIL KOŽELOUH (překlad a redakce) Navrhování, výpočet a posuzování dřevěných stavebních konstrukcí, Komentář k ČSN 73 1702, ČKAIT, Praha, 2008.

## **Zásady pro vypracování**

Práce se bude zabývat návrhem a posouzením sanace krovu historické budovy zámku Žehušice. Krovy jsou poškozeny nákažou a je třeba vyměnit části jednotlivých prvků krovu. Je třeba dbát požadavků památkové péče na tuto sanaci. Součástí práce bude statická analýza krovu podle současných předpisů, která určí napjatostní stav konstrukce. Dále bude proveden návrh spojů nových a původních částí prvků.

## **Předepsané přílohy**

---

Ing. Luděk Brdečko, Ph.D.  
Vedoucí bakalářské práce

## **Abstrakt**

Bakalárka práca „Návrh a posouzení sanace historického dřevěné konstrukce“ sa zaobrás návrhom a posúdením nových nahradených prvkov – protéz. Rieši taktiež návrh a posúdenie spojov nových prvkov s pôvodnými. Protézy je nutné navrhnúť z dôvodu zisteného poškodenia historického dreveného krovu v komplexe Zámok Žehušice. Na základe projektovej dokumentácie je vytvorený výpočtový model vybraného charakteristického výseku konštrukcie. Spoje a nové prvky sú posúdené na prvý medzný stav – medzný stav únosnosti. Na analýzu priestorového modelu je použitý program SCIA Engineer 2012.

## **Kľúčové slová**

Drevená konštrukcia  
Krov  
Výpočtový model  
Sanácia  
Svorníkový spoj

## **Abstract**

Bachelor's thesis "Design and evaluation of rehabilitation of historic timber structures" is engaged in design and evaluation new replacement elements – proteases. It solved also design and evaluation connections between new and original elements. Proteases are designed, because of damage historic timber structure in complex Castle Žehušice. On the basis of project documentation is created computational model of characteristic structure section. Connections and new elements are assessed on the first limit state – Ultimate limit state. For the analysis computational model is used program SCIA Engineer 2012.

## **Keywords**

Timber structure  
Truss  
Computational model  
Redevelopment  
Bolted connection

## **Bibliografická citace VŠKP**

NOVÁKOVÁ, Ľubica. *Návrh a posouzení sanace historické dřevěné konstrukce*. Brno, 2013.  
53 s., 62 s. příl. Bakalářská práce. Vysoké učení technické v Brně, Fakulta stavební, Ústav  
stavební mechaniky. Vedoucí práce Ing. Luděk Brdečko, Ph.D..

**Prohlášení:**

Prohlašuji, že jsem bakalářskou práci zpracoval(a) samostatně a že jsem uvedl(a) všechny použité informační zdroje.

V Brně dne 24.5.2013

.....  
podpis autora  
Ľubica Nováková

## **Podakovanie**

Týmto by som chcela podakovať pánu Ing. Luďkovi Brdečkovi, Ph.D. za odborné vedenie bakalárskej práce, za jeho trpezlivosť, ochotu a dobré rady. Ďalej by som chcela podakovať svojej rodine za to, že mi umožnili študovať na tejto vysokej škole a za podporu pri štúdiu, ktorú mi poskytli.

V Brně dňa 24.5.2013

.....

podpis autora

# Obsah

<b>1. Úvod</b>	2
<b>2. História</b>	3
<b>3. Popis konštrukcie</b>	
<b>3.1 Všeobecný popis konštrukcie</b>	5
<b>3.2 Poškodenie konštrukcie</b>	6
<b>3.2.1 Stropná konštrukcie</b>	6
<b>3.2.2 Strešná konštrukcia</b>	6
<b>4. Popis statického modelu</b>	
<b>4.1 Plná väzba</b>	8
<b>4.2 Horná väzba</b>	9
<b>4.3 Šikmé vzpery</b>	10
<b>4.4 Väzný trám</b>	11
<b>4.5 Spoj krovke a väznice</b>	12
<b>4.6 Podmienky na osiach symetrie modelu</b>	
<b>4.6.1 Okrajové podmienky na väzniciach</b>	12
<b>4.6.2 Okrajové podmienky na krovkách</b>	13
<b>5. Zaťažovacie stavy</b>	
<b>5.1 LC1 Vlastná tiaž</b>	14
<b>5.2 LC2 Stále zaťaženie</b>	14
<b>5.3 LC3 Sneh, plný</b>	15
<b>5.4 LC4 Sneh, ľavá polovica zaťažená plne, pravá polovične</b>	15
<b>5.5 LC5 Sneh, ľavá polovica zaťažená polovične, pravá plne</b>	16
<b>5.6 LC6 Vietor, <math>\theta=0^\circ</math> - z ľavej strany</b>	17
<b>5.7 LC7 Vietor, <math>\theta=0^\circ</math> - z pravej strany</b>	18
<b>5.8 LC8 Vietor, <math>\theta=90^\circ</math></b>	18
<b>5.9 LC9 Úžitkové zaťaženie</b>	19
<b>6. Kombinácie</b>	20
<b>7. Vnútorné sily</b>	
<b>7.1 Väznica</b>	21
<b>7.2 Krovka</b>	23
<b>7.3 Väzný trám</b>	24
<b>7.4 Pásiky</b>	24
<b>7.5 Šikmý stĺpik</b>	25
<b>7.6 Šikmé vzpery</b>	27
<b>7.7 Rozpera</b>	28
<b>7.8 Hambálok</b>	28
<b>7.9 Horný hambálok</b>	29
<b>7.10 Horná krovka</b>	30
<b>8. Rezy</b>	
<b>8.1 Rez 1-1', Väznica</b>	31
<b>8.2 Rez 2-2', Väzný trám</b>	32
<b>8.3 Rez 3-3', Šikmý stĺpik</b>	34
<b>8.4 Rez 4-4', Krovka</b>	36

<b>9. Posúdenie prvkov</b>	
<b>9.1</b> Posúdenie na ťah	38
<b>9.2</b> Posúdenie na tlak	38
<b>9.3</b> Posúdenie na ohyb	38
<b>9.4</b> Posúdenie na šmyk	39
<b>9.5</b> Posúdenie na kombináciu ťahu a ohybu	39
<b>9.6</b> Posúdenie na kombináciu tlaku a ohybu	40
<b>10. Posúdenie spojov</b>	
<b>10.1</b> Únosnosť spojovacieho prostriedku	41
<b>10.2</b> Svořníkový spoj	42
<b>10.3</b> Rozstupy spojovacích prostriedkov	42
<b>10.4</b> Posúdenie	43
<b>11. Návrh spojov</b>	
<b>11.1</b> Spoj v reze 1-1', väznica	45
<b>11.2</b> Spoj v reze 2-2', väzný trám	46
<b>11.3</b> Spoj v reze 3-3', šikmý stĺpik	47
<b>11.4</b> Spoj v reze 4-4', krokva	48
<b>12. Záver</b>	49
<b>13. Literatúra</b>	50
<b>14. Zoznam použitých skratiek</b>	51
<b>15. Zoznam príloh</b>	53
<b>16. Prílohy</b>	54

## 1. Úvod

V tejto bakalárskej práci sa budem zaoberať sanáciou a nahradením poškodených častí historického krovu. Rekonštruovaná konštrukcia je jednou z budov nachádzajúcich sa v zámockom komplexe Zámku Žehušice.

Poškodenie konštrukcie bolo spôsobené škodcami, pôsobením vody, zatekaním do konštrukcie strechy, hnitím nosných prvkov. Porušené časti budú nahradené novými prvkami, je však nutné zabezpečiť dostatočne únosné spojenie medzi novými a starými prvkami. Vzhľadom na zložitosť pôdorysného a konštrukčného usporiadania strešnej konštrukcie je nutné vytvoriť priestorový statický model, pomocou ktorého budú vypočítané vnútorné sily v nosných prvkoch konštrukcie. Zameranie objektu a posúdenie stavu poškodenia bolo prevzaté z firmy A+Z Projekt Team s.r.o., ktorá túto rekonštrukciu realizovala. Medzi poškodené prvky patrí šikmý stĺpik, krokva a väzný trám, ktorý sa nachádza v plnej väzbe sedlovej strechy. Poškodenie sa taktiež vyskytuje na spodnej väznici.

Rekonštrukcia poškodených častí bude realizovaná pomocou protéz, teda odrezaním poškodeného prvku a jeho náhradou novým prvkom, za predpokladu zabezpečenia dostatočnej únosnosti celej konštrukcie.

Pôvodná konštrukcia nebude posudzovaná. Predpokladáme, že konštrukcia má dostatočnú únosnosť a teda nebude predmetom posudku.

## 2. História

V roku 1661 kúpil Žehušice Michal Osvald Thun-Hohenstein, ktorému pôvodná žehušický zámok nevyhovoval a tak si dal vybudovať staviteľom Francescom Carattim ranne barokový zámok. Podľa letopočtu nad hlavným portálom bola stavba ukončená v roku 1679. Portál je doplnený znakom stavebníka. Okolie zámku bolo upravené na francúzsky park. K rozsiahlym prestavbám došlo na začiatku 19. Storočia za Jozefa Matyáše Thura. Po skončení prestavby v roku 1826 sa stal zámok moderným vidieckym sídlom. K severnej strane zámku boli pristavené budovy hospodárske a pre obydlie služobníctva. Cez cestu, naproti novej bráne bola postavená jazdiareň, koniareň a budova s úradníckymi bytmi. Zámok tak bol oddelený od hospodárskych budov. Rozsiahli komplex parku sa stal vzorom pre úpravu rady okolitých šľachtických sídel. Po roku 1948 zámok slúžil pre potreby školstva. Po roku 1989 bol vrátený v reštitúcii a v súčasnosti je vo veľmi zanedbanom stave. [9]



Obr. 2.1 Komplex Zámok Žehušice



Obr. 2.2 Historická fotografia Zámku Žehušice



Obr. 2.3 Portál so znakom stavebníka

### 3. Popis konštrukcie

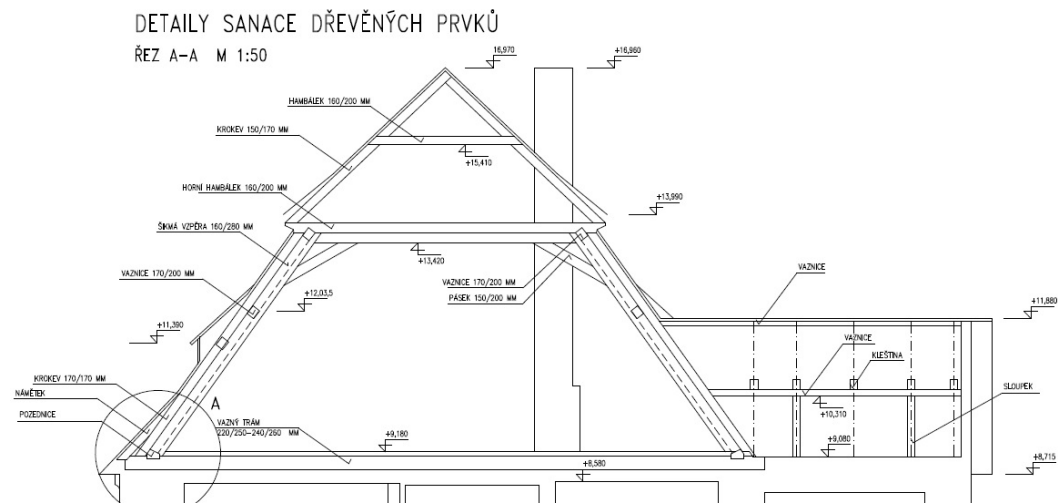
#### 3.1 Všeobecný popis konštrukcie

V tejto kapitole je uvedený stručný popis posudzovanej konštrukcie. Je výťahom z technickej správy, poskytnutej od firmy A+Z Projekt Team s.r.o., ktorá danú rekonštrukciu realizovala.

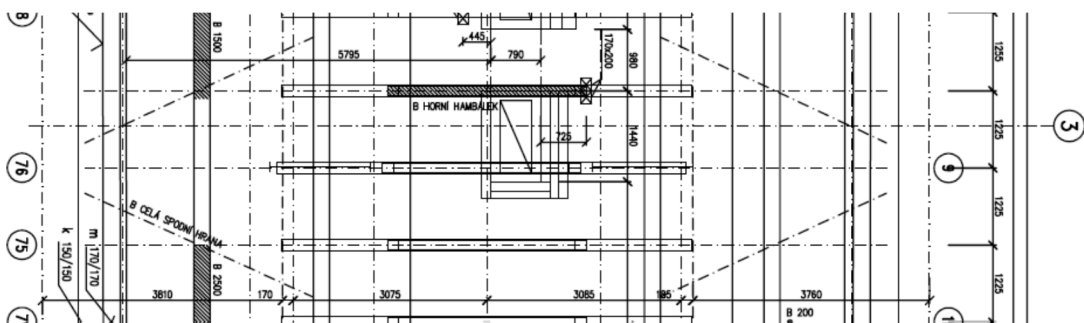
Koniareň a jazdiareň sú samostatne stojace objekty zámockého komplexu Zámku Žehušice, pochádzajú podľa prvého dostupného materiálu z roku 1679. Pod časťou koniarne preteká pod úrovňou 1NP mlynský vodný náhon. Koniareň od jazdiarne oddeluje zaklenutý prejazd v 1NP. V podkroví sú koniareň a jazdiareň voľne prepojené. V mieste prepojenia bolo ponechaná konštrukcia valby z doby, kedy koniareň mala len 1NP a podkrovie. Pri dostavbe 2NP nad priestorom vlastnej koniarne bola postavená nová manzardová strecha rovnakého vzhľadu ako u jazdiarne. Vzhľadom na menší rozmer šírky koniarne oprosti jazdiarni sú spády oboch striech totožné, iba hrebene nie sú v rovnej úrovni. Konštrukcia Koniarne a Jazdiarne je symetrická podľa pozdĺžnej osi objektu. V záváznosti striech boli vytvorené úžlabia, ktoré vznikli dostavbou krovu Koniarne k valbe strechy Jazdiarne. V dobe dostavby Koniarne bol na západnej strane objektu v 2NP pristavený schodišťový. Je zastrešený sedlovou strechou s hrebeňom kolmým na pozdĺžnu osu sedlovú strechu.

Stropná konštrukcia nad 1.NP je dvojité, je tvorená stropnými drevenými trámami so záklopom, podbíjaním a rákosovou omietkou. Nad záklopom je medzera 0 až 170 mm pod spodnou hranou väzných trámov v plných i jalových väzbách. Nad týmito väznými trámami je drevený záklop, podsyp a hlinená dlažba hrúbky 70 mm.

Strešná konštrukcia barokovej manzardovej strechy je hambálkovej sústavy s dvojnásobným vzperadlom (šikmé stĺpiky) v plných väzbach. Jalové väzby strechy sú hambálkovej sústavy, s dvoma hambálkami. Horný hambálok je rozpera medzi krokvami. Dolný hambálok horných kroiek je podopieraný väznicou. Väznica je uložená na šikmých stĺpikoch plných väzieb a zároveň tvorí horný pás konštrukcie pozdĺžneho stuženia v strešnej rovine. Dolné hambálky presahujú strednú väznicu a vytvára tak po osedlaní horných kroiek s námetkom manzardu.



Obr.3.1 Rez krovom



Obr.3.2 Výsek pôdorysu, ktorý bol modelovaný v programe Scia Engeneering

### 3.2 Poškodenie konštrukcie

#### 3.2.1 Stropná konštrukcia

Makroskopicky bolo prieskumom zistené biologické poškodenie drevokaznými hubami a drevokazným hmyzom. Drevokazné huby spôsobujú poškodenie celuloúvorné.

Podľa zistenia miery porušenia jednotlivých prvkov je nutné odstrániť porušenia odtesaním, náhradou častí prvkov s poškodením 30 – 70 mm (pri zachovaní min.2/3 prierezu) s vložením nových impregnovaných časti do prvkov a poistiť ich príložkami. Značne porušené časti prvkov je nutné nahradíť, tzv. protézou. (časť daného prierezu prvku danej dĺžky).



Obr. 3.2.1 Porušenie väzného trámu

#### 3.2.2 Strešná konštrukcia

Strešná konštrukcia v miestach bez porušenia nevykazuje viditeľné deformácie, ani poruchy v spojoch. Miesta, kde došlo k poškodeniu, predovšetkým u päty krovu, sú deformované a je nutné ich opraviť.

Biotickým prieskumom bolo zistené, že krov je na mnohých miestach výrazne poškodený. Sú to miesta prevažne v spodnej časti krovu, ktoré sú v trvalom kontakte s murivom.

Tieto mieste je nutné nahradíť protézami, ktoré je nutné prepojiť so zvyškom krovu dostatočne únosnými spojeniami. Môžu byť taktiež rekonštruované vložením nových impregnovaných častí do prvkov a ich posílením príložkami.



Obr. 3.2.2 Porušenie nosných prvkov krovu

## 4. Popis statického modelu

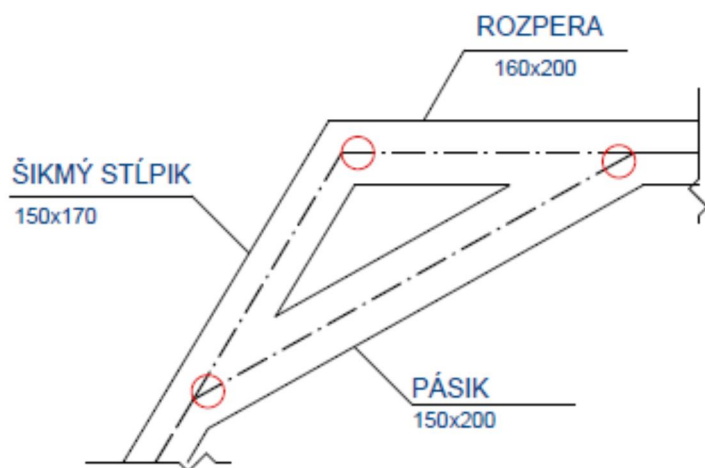
Vzhľadom k zložitosti projektovaného pôdorysu modelovaného krovu, bol vytvorený priestorový model typického výrezu krovu. Modelovanú pôdorysnú časť krovu môžeme vidieť na obr.3.2. Priestorový statický model bol vytvorený na základe pôvodnej stavebnej dokumentácie, pôdorysu a rezu strešnej konštrukcie. Statický model bol vytvorený v programe Scia Engineering 2012.

### 4.1 Plná väzba

Plná väzba je tvorená páskami, šikmými stĺpmi a rozperou. Spoje medzi týmito prvkami musia zabezpečiť prenos vnútorných síl.

Spoj medzi páskami a šikmými stĺpmi je zabezpečený kľbovým spojením. Kľb sa nachádza na páskach. Tento kľb zabezpečuje, aby do páskou nebol vnášaný moment zo stĺpiku ale aby boli prenášané normálové sily spôsobené zaťažením od vetra. Pásy zabezpečujú priečnu stabilitu krovu.

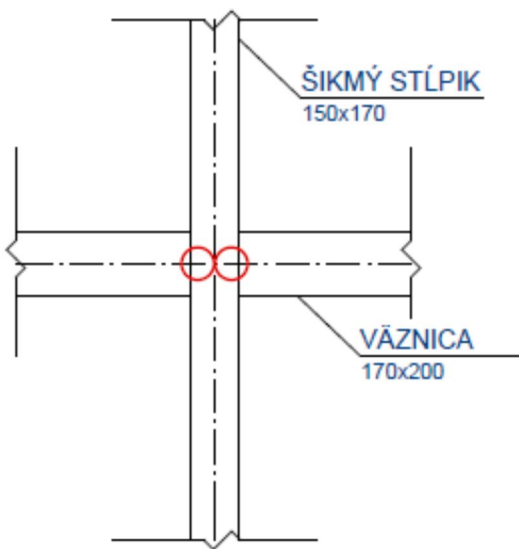
Spoj medzi páskom a rozperou je tvorený taktiež kľbom a kľb sa nachádza na pásku. Do pásku sa neprenášajú momenty z rozpery ale prenáša normálové sily.



Obr. 4.1 Spôsob napojenia hornej časti plnej väzby

Rozpera je kľovo pripojený k hornej väznici. Potočenie v smere y je voľné, ostatným potočeniam a posunom je zamedzené tuhým spojením.

Pripojenie spodnej väznice so šikmým stĺpikom je zabezpečené kľbmi na oboch stranach stĺpiku. Je zamedzené posunu vo všetkých troch smeroch ale potočenie je voľné. Je tak zamedzené prenosu momentu z väzníc do stĺpika.



Obr. 4.1.2 Spôsob pripojenia väznice k šikmému stĺpiku

## 4.2 Horná väzba

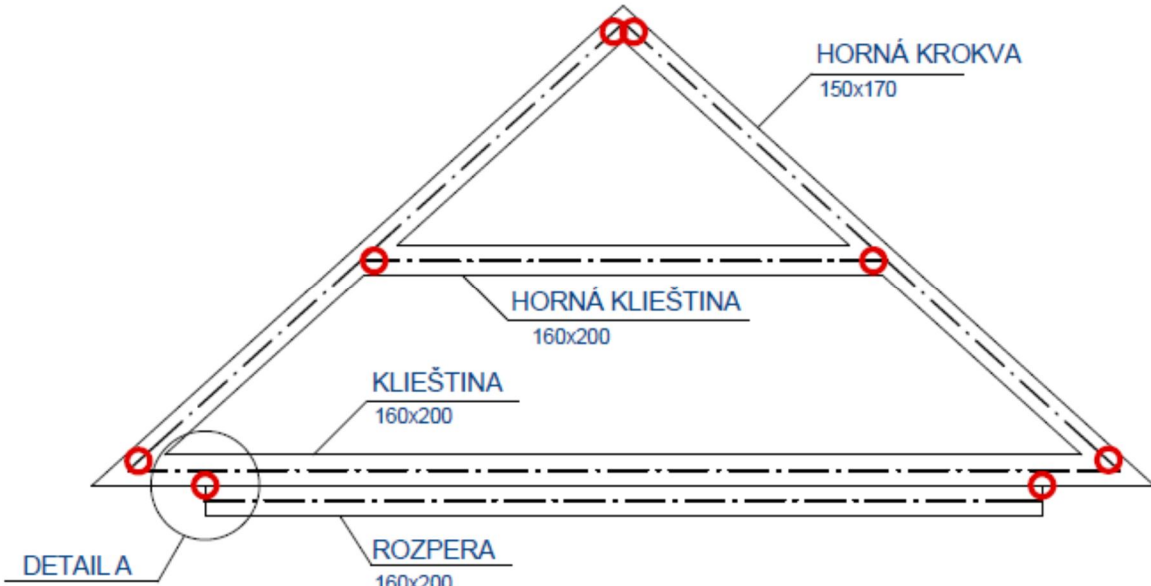
Horná väzba krovu je tvorená hornými krokvami, klieštinou a hornou klieštinou.

Krokve sú kľovo pripojené ku klieštine, tak že je dovolené len pootočenie v smere y. Je teda zamedzené vnášaniu momentu z krooviev do klieštiny. Horná kliešťina je kľovo pripojená ku krovkám. Do horného hambálku sa teda neprenášajú momenty pôsobiace na krovkách. V tomto spojení je zamedzené posunu vo všetkých smeroch a pootočenie v smere x a z. Pootočeniu v smere y nie je zabránené.

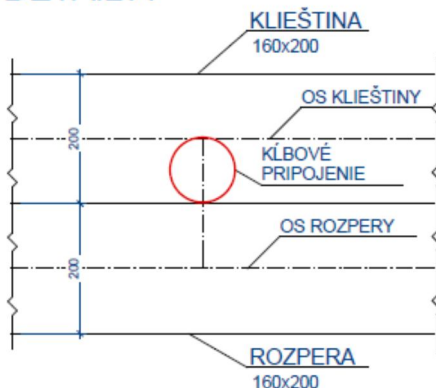
Spoj medzi krovkami je zabezpečený dvoma kľbm na oboch koncoch krooviev. Taktiež v tomto kľbe je pootočenie v smere y voľné.

Spojenie medzi krovkami a hornou klieštinou je zabezpečené kľbom, ktorý má voľné pootočenie v smere y a nachádza sa na klieštine. Na krovke to vytvára spojity nosník a vzniká tam maximum ohybového momentu. Spojenie medzi krovkou a horným hambálkom je podporou tohto nosníku. V tomto mieste sa teda nachádzajú záporné momenty.

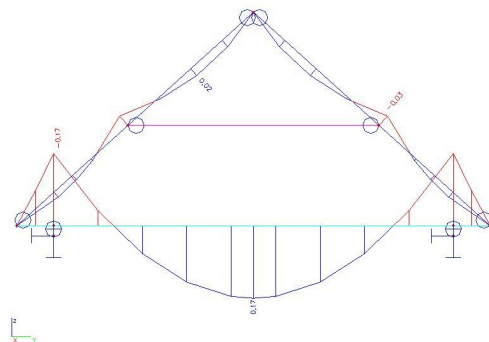
Kliešťina je pripojená kľbom do väznice, tak že v spoji je pootočenie v smere x a z voľné a v smere y je tuhé, taktiež posunutia vo všetkých troch smeroch sú spoločné.



Obr. 4.2.1 Spôsob pripojenie hornej väzby

**DETAIL A**

Obr. 4.2.2 Detail pripojenia rozpery ku klieštine



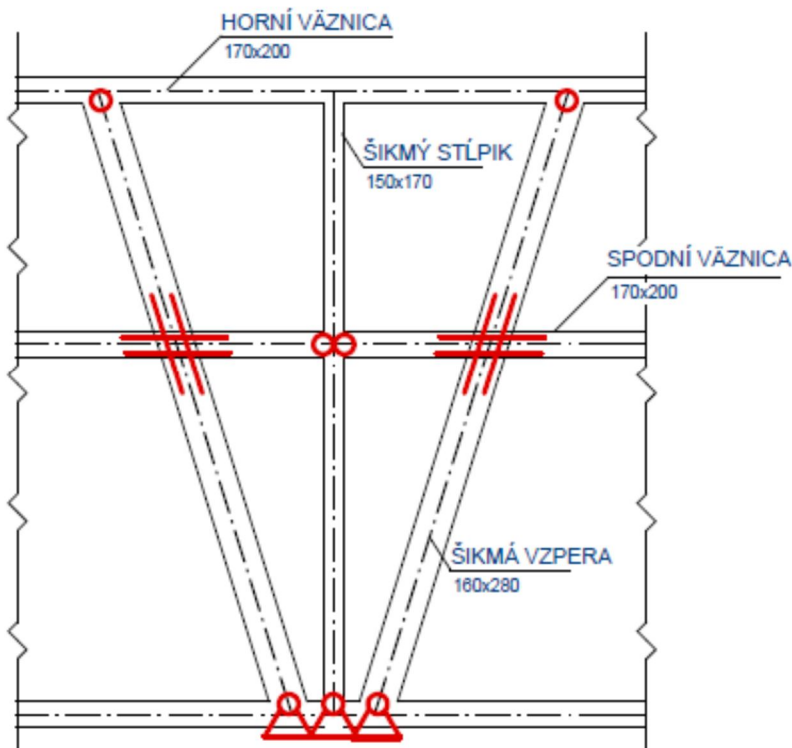
Obr. 4.2.3 Priebeh ohybových momentov

### 4.3 Šikmé vzpery

Šikmé vzpery sú pripojené k horným a dolným väzniciam.

Spojenie s dolnými väznicami je zabezpečené krížením, ktoré umožňuje prenos posúvajúcich aj normálových síl a prenos momentov v rámci jedného prvku.

Spojenie s hornými väznicami je zabezpečené kľbovým spojením ktoré zabraňuje posunu.



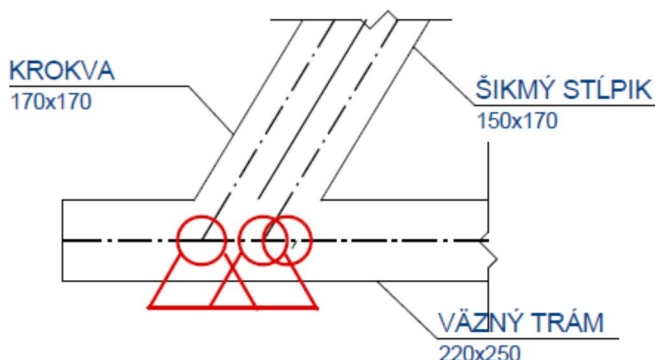
Obr. 4.3.1 Spôsob pripojenia šikmej vzpery

#### 4.4 Väzný trám

Väzný trám je proste uložený na obvodových stenách a uprostred rozpätia nosnou stenou. Sú k nemu kľovo pripojené krokve. V tomto spoji je pootočenie vo všetkých troch smeroch volné. Momenty z krokví nie sú vnášané do väzného trámu.



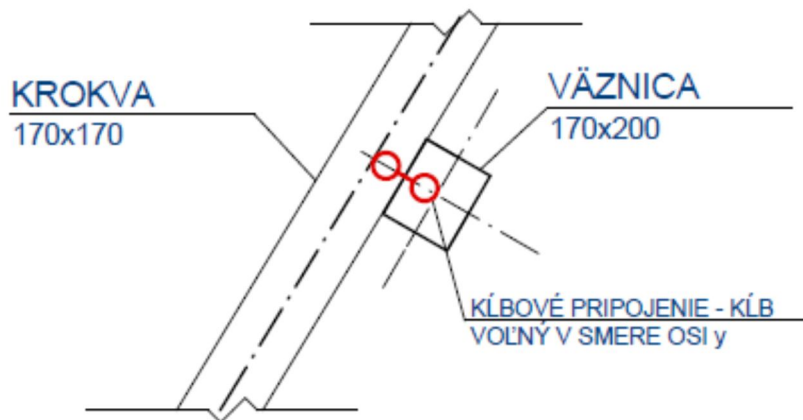
Obr. 4.4.1 Uloženie väzného trámu



Obr. 4.4.2 Uloženie krokví a šikmého stĺpika do väzného trámu

## 4.5 Spoj krokve a väznice

Krokvy sú proste uložené na väzniciach a teda v toto spojenie je tiež kľbové. Pootočenie v smere y je voľné ostatné zložky deformácií sú tuhé.



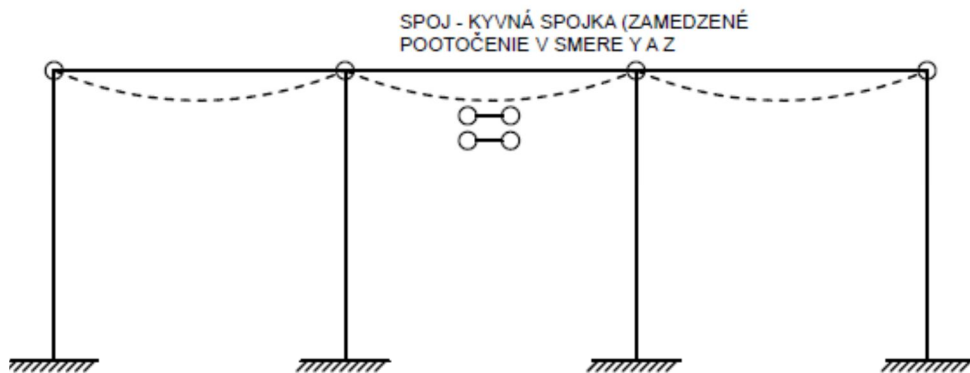
Obr.4.5 Uloženie krokve na väznici

## 4.6 Podmienky na osách simetrie modelu

Ked'že model predstavuje iba typický výsek zo zadanej konštrukcie musíme na okrajových krovkách a na koncoch väzníc uviesť okrajové podmienky, ktoré nám musia zohľadňovať pôsobenie zvyšku konštrukcie na náš typický výsek.

### 4.6.1 Okrajové podmienky na väzniciach

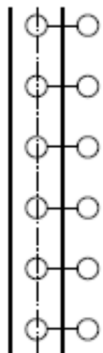
Na krajoch väzníc je zamedzené možnosti pootočenia v smere y a z. Nie je zabránené posunu v žiadnom smere, pretože konštrukcia spolupôsobí a teda posuny sa môžu prenášať.



Obr. 4.6.1 Podmienky na ose symetrie

#### 4.6.2 Okrajové podmienky na krovkách

Krovky aj väzný trám má na ose symetrie polovičný profil, a teda aj polovičnú tuhost'. Je zabránené posunu v smere y, pootočenie v smere x a v smere z.

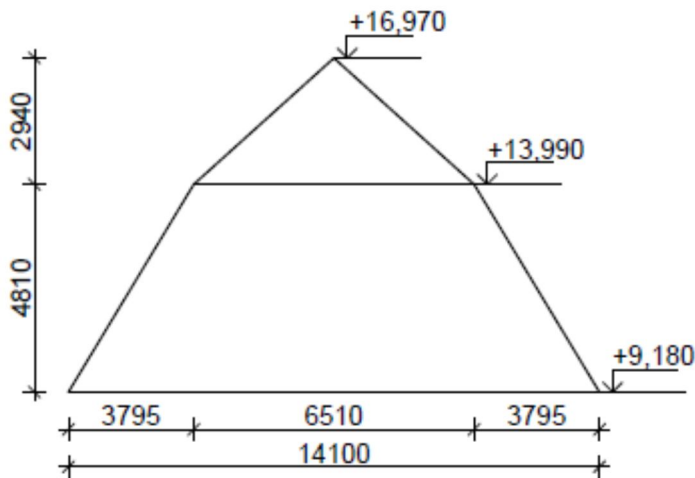


Obr. 4.6.2 Podmienky na ose symetrie na krovkách

## 5. Zaťažovacie stavy

### 5.1 LC1 Vlastná tiaž

Vlastná tiaž konštrukcie je vypočítaná automatiky programom Scia Engineer podľa zadaných vstupných dát. Závisí hlavne na profile prvkú teda na jeho objeme a jeho objemovej hmotnosti. Tento krov je konštruovaný z dreva pevnosti C22. Hustota tejto pevnosti dreva je  $\delta_k=340 \text{ kg/m}^3$ .



Obr. 5.1 Geometria konštrukcie

### 5.2 LC2 Stále zaťaženie

Stále zaťaženie konštrukcie je tvorené strešným plášťom, ktorý pozostáva zo smrekových dosiek hrúbky 25 mm a tašiek bobroviek.

Stále zaťaženie pôsobiace na väzný trám je spôsobené vlastnou tiažou podlahy.

Strešný plášť:

Dosky hr. 25 mm (smrek) – objemová hmotnosť:  $470 \text{ kg/m}^3$

Tašky bobrovky - tiaž:  $1\text{m}^2 - 61,2 \text{ kg}$

Stále zaťaženie od strešného plášťa je teda  $\mathbf{g = 0,8936 \text{ kN/m}}$ .

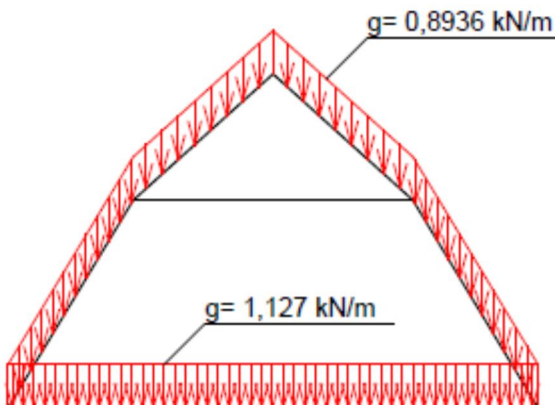
Skladby podlahy nad 2.NP:

Záklop

Tepelná izolácia

2x Cetris dosky 12 mm

Stále zaťaženie od podlahy je teda  $\mathbf{g = 0,92 \text{ kNm}^{-2}}$

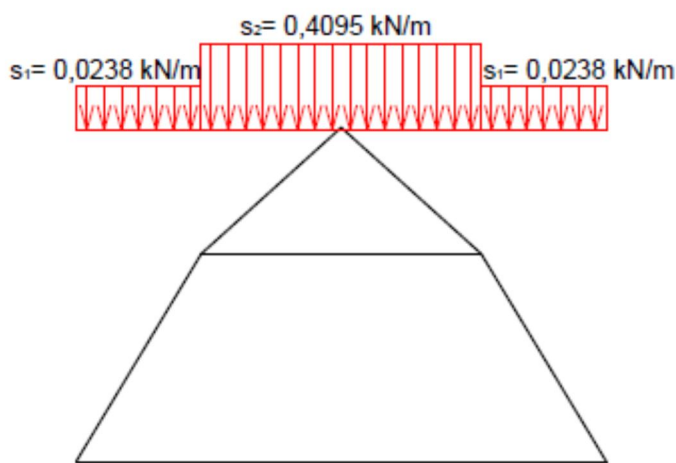


Obr. 5.2 Pôsobenie stáleho zaťaženia

### 5.3 LC3 Sneh, plný

Zaťaženie snehom sa vypočíta podľa normy ČSN EN 1991-1-3. Závisí na lokalite, na sklone strechy, tvare strechy a na topografii. Žehušice ležia v I. snehovej oblasti a teda charakteristická hodnota zaťaženia snehom  $s_k = 0,7 \text{ kPa}$ . Konštrukcia sa nachádza v normálnej topografii, čo znamená, že nedochádza k výraznému premiestneniu snehu vetrom kvôli okolitému terénu, iným stavbám alebo stromom.

Strecha je sedlová, musíme však vypočítať zaťaženie snehom pre dva meniace sa sklonky strechy. Potom zaťaženie snehom na spondej časti strechy je rovný  $s_1 = 0,0238 \text{ kN/m}$  a zaťaženie na vrchnej časti strechy je rovný  $s_2 = 0,4095 \text{ kN/m}$ .

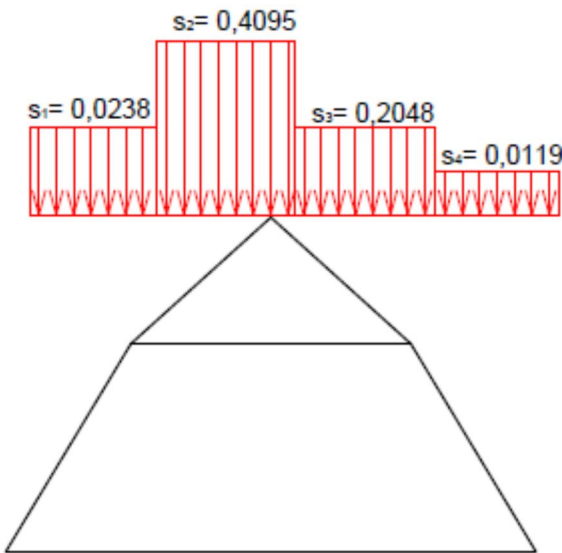


Obr. 5.3 Pôsobenie zaťaženia od snehu – plného.

### 5.4 LC4 Sneh, ľavá polovica zaťažená plne, pravá polovične

Zaťažovací stav 4 počíta s tým, že počas sneženia bude tiež na konštrukciu pôsobiť zaťaženie vetrom a preto na ľavej polovici konštrukcie bude dvakrát viac snehu ako na tej pravej. Na pravej strane konštrukcie bude teda polovičné zaťaženie snehom. Taktiež sa zaťaženie bude

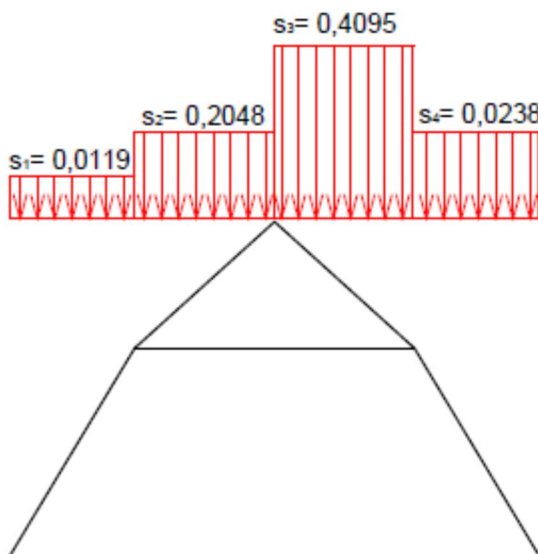
meniť podľa sklonu strechy. V spodnej časti strehy na pravej strane bude pôsobiť zaťaženie  $s_1=0,0119$  kN/m a zaťaženie na vrchnej časti strehy je rovný  $s_2=0,2048$  kN/m. Vo spodnej časti strehy na ľavej strane bude pôsobiť zaťaženie  $s_3=0,0238$  kN/m a zaťaženie na vrchnej časti strehy je rovný  $s_4=0,4095$  kN/m.



Obr. 5.4 Pôsobenie zaťaženia snehom, ľavá polovica plným pravá polovica zaťažená polovične.

### 5.5 LC5 Sneh, ľavá strana zaťažená polovične, pravá plne

Zaťažovací stav bude zrkadlovo otočený k zaťažovaciemu stavu 4. Na pravej strane strehy bude pôsobiť plné zaťaženie snehom a na ľavej strane bude pôsobiť polovičné zaťaženie snehom. V spodnej časti strehy na pravej strane bude pôsobiť zaťaženie  $s_1=0,0238$  kN/m a zaťaženie na vrchnej časti strehy je rovný  $s_2=0,4095$  kN/m. Vo spodnej časti strehy na ľavej strane bude pôsobiť zaťaženie  $s_3=0,0119$  kN/m a zaťaženie na vrchnej časti strehy je rovný  $s_4=0,2048$  kN/m.



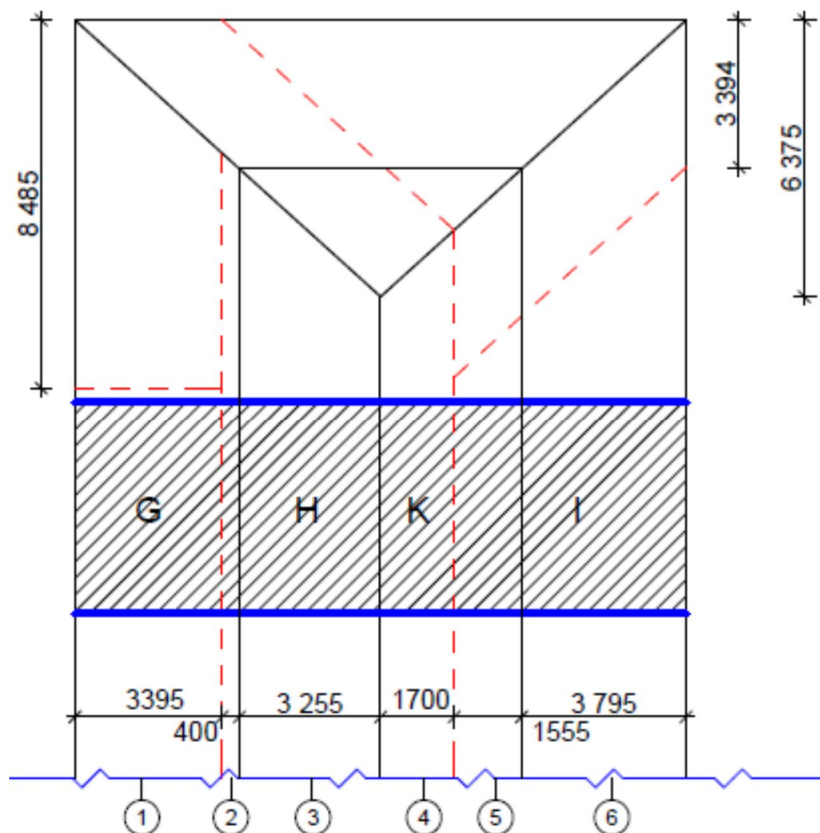
Obr. 5.5 Pôsobenie zaťaženia snehom, ľavá polovica polovičným zaťažením, pravá polovica plným zaťažením.

## 5.6 LC6 Vietor, $\theta=0^\circ$ - z ľavej strany

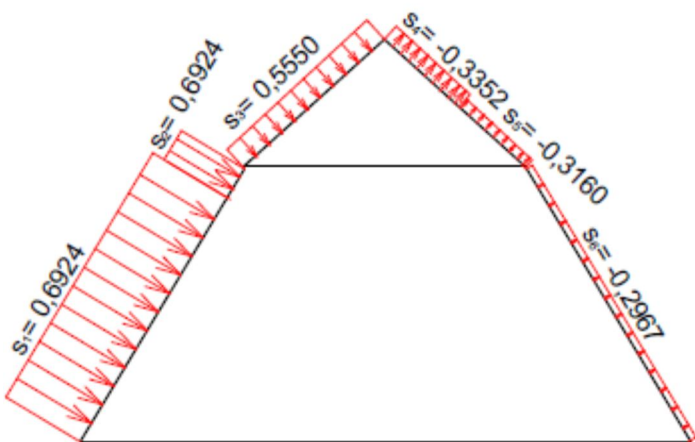
Zaťaženie vetrom sa vypočíta podľa normy ČSN EN 1991-1-4. Závisí na lokalite, na teréne, smere vetra, ročnom období a ortografiu terénu. Žehušice ležia v II. veternej oblasti a teda východisková základná rýchlosť vetra je  $v_{b,0}=25$  m/s. Konštrukcia je zaradená do III. Kategórie terénu, čo znemena, že sa jedná o oblasť rovnomerne pokrytou vegetáciou alebo budovami alebo izolovanými prekážkami, ktorých vzdialenosť je maximálne 20násobok výšky prekážok.

Vietor môže fúkať kolmo na hlavný sklon strechy  $\theta=90^\circ$ , alebo rovnobežne s ním  $\theta=0^\circ$ . Podľa toho sa pôdorys strecha rozdelí na oblasti s rôznym zaťažením.

V zaťažovacom stave 6 pôsobí vietor z ľavej strany, rovnobežne s hlavným sklonom strechy. Rozdelením pôdorysu na oblasti (viz obr.) dostaneme 4 oblasti označené G,H, K, I v ktorých pôsobí nasledujúce zaťaženie: v oblasti G je to  $w_G=0,8924$  kN/m v oblasti H sa zaťaženie mení podľa sklonu strechy v spodnej časti je to zaťaženie veľkosti  $w_{H1}=0,6924$  kN/m a vo vrchnej časti je to  $w_{H2}=0,5550$  kN/m. V oblastiach K a I pôsobí satie a má veľkosť pre oblasť K pre vrchnú časť  $w_{K1}=0,3352$  kN/m a pre spodnú časť  $w_{K2}=0,3160$  kN/m. V oblasti I má zaťaženie veľkosť  $w_I=0,2967$  kN/m



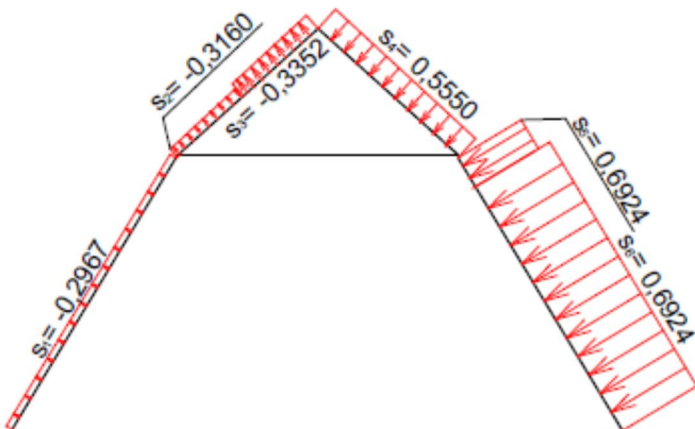
Obr.5.6.1 Geometria oblasti zaťaženia vetrom



Obr. 5.6.2 Pôsobenie zaťaženia vetrom – zľava

### 5.7 LC7 Vietor, $\theta=0^\circ$ - z pravej strany

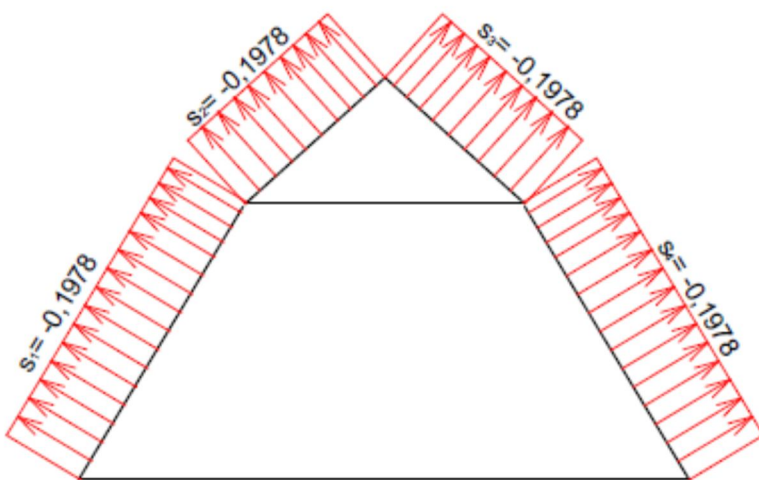
Zaťažovací stav 7 je zrkadlovo otočený k zaťažovaciemu stavu 6. Vietor pôsobí sprava a teda na ľavej strane pôsobí satie a na pravej tlak.



Obr.5.7 Pôsobenie zaťaženia vetrom – zprava

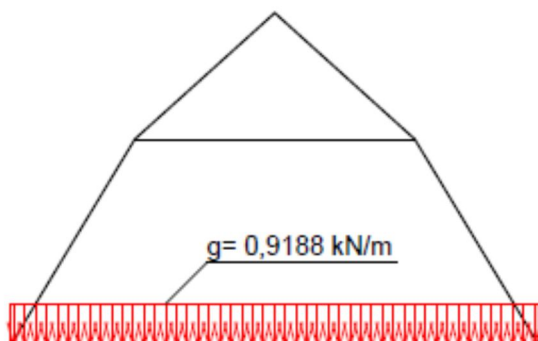
### 5.8 LC8 Vietor, $\theta=90^\circ$

V zaťažovacom stave 8 pôsobí vietor kolmo na hlavný smer sklonu strechy. Strechu sa rozdelí na oblasti v ktorých sa mení veľkosť zaťaženia. V tomto prípade bude ale celá posudzovaná časť ležať v oblasti K a teda zaťaženie na strechu bude satie a bude mať veľkosť  $w_K=0,1978 \text{ kN/m}$ .

Obr. 5.8 Pôsobenie zaťaženie vetrom  $\theta=90^\circ$ 

### 5.9 LC9 Úžitkové zaťaženie

Na väzný trám pôsobí úžitkové zaťaženie. Jeho veľkosť je  $0,75 \text{ kNm}^{-2}$ . Zaťažovacia šírka, pre výpočet zaťaženia na jeden väzný trám je  $1,225 \text{ m}$ . Potom líniové zaťaženie na jeden trám je  $g = 0,9188 \text{ kN/m}$ .



Obr.5.9 Pôsobenie úžitkového zaťaženia

## 6. Kombinácie

Kombinácie zaťažovacích stavov sú vytvorené programom Scia engeneering automaticky. Program vytvára kombinácie podľa ČSN 1990 – Zásady navrhovania konštrukcií. Typ použitej kombinácie v programe je EN-MSÚ (STR/GEO) Sada B.

Tento typ kombinuje zaťaženie podľa vzorcov:

6.10 a

$$\sum_{j \geq 1} \gamma_{G,j} G_{k,j} + \gamma_P P + \gamma_{Q,1} \Psi_{0,1} Q_{k,1} + \sum_{i > 1} \gamma_{Q,i} \Psi_{0,i} Q_{k,i}$$

6.10 b

$$\sum_{j \geq 1} \xi_j \gamma_{G,j} G_{k,j} + \gamma_P P + \gamma_{Q,1} Q_{k,1} + \sum_{i > 1} \gamma_{Q,i} \Psi_{0,i} Q_{k,i}$$

Hodnoty súčiniteľov pre tieto vzorce sú uvedené v tab 6.1.

Tab. 6.1 Normové hodnoty zaťaženia (STR/GEO) súbor B

Trvalé a dočasné návrhoví situácie	stále zaťaženie		Hlavné premenlivé zaťaženie	vedľajšie premenlivé zaťaženie	
	nepriaznivé	priaznivé		najúčinnejšie (ak sa vyskytuje)	ostatné
Výraz 6.10	$\gamma_{Gj,sup} G_{kj,sup}$	$\gamma_{Gj,inf} G_{kj,inf}$	$\gamma_{Q,1} Q_{k,1}$		$\gamma_{Qi} \Psi_{0,i} Q_{k,i}$

Trvalé a dočasné návrhoví situácie	stále zaťaženie		Hlavné premenlivé zaťaženie	vedľajšie premenlivé zaťaženie	
	nepriaznivé	priaznivé		najúčinnejšie (ak sa vyskytuje)	ostatné
Výraz 6.10a	$\gamma_{Gj,sup} G_{kj,sup}$	$\gamma_{Gj,inf} G_{kj,inf}$		$\gamma_{Q,1} \Psi_{0,1} Q_{k,1}$	$\gamma_{Qi} \Psi_{0,i} Q_{k,i}$
Výraz 6.10b	$\xi \gamma_{Gj,sup} G_{kj,sup}$	$\gamma_{Gj,inf} G_{kj,inf}$	$\gamma_{Q,1} Q_{k,1}$		$\gamma_{Qi} \Psi_{0,i} Q_{k,i}$

$$\gamma_{Gj,sup} = 1,35$$

$$\gamma_{Gj,inf} = 1,0$$

$$\gamma_{Q,1} = 1,5 \text{ pre nepriaznivé (0 pre priaznivé)}$$

$$\gamma_{Qi} = 1,5 \text{ pre nepriaznivé (0 pre priaznivé)}$$

$$\xi = 0,85 \quad \text{potom} \quad \xi \gamma_{Gj,sup} = 0,85 \cdot 1,5 = 1,15$$

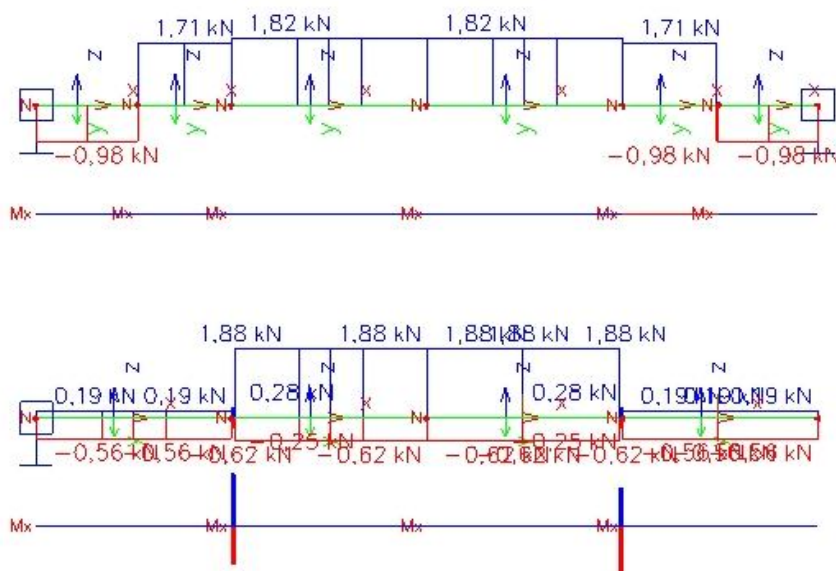
## 7. Vnútorné sily

### 7.1 Väznica

Výsledky vnútorných síl sú vziažené na lokálny súradnicový systém prvku.

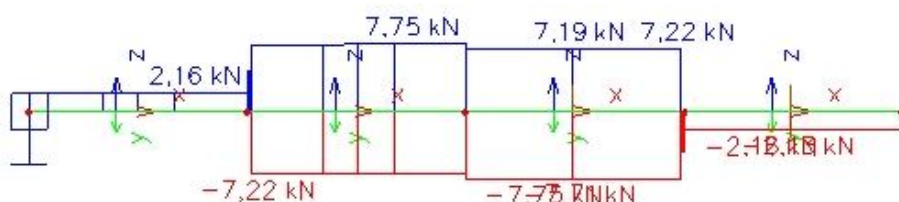
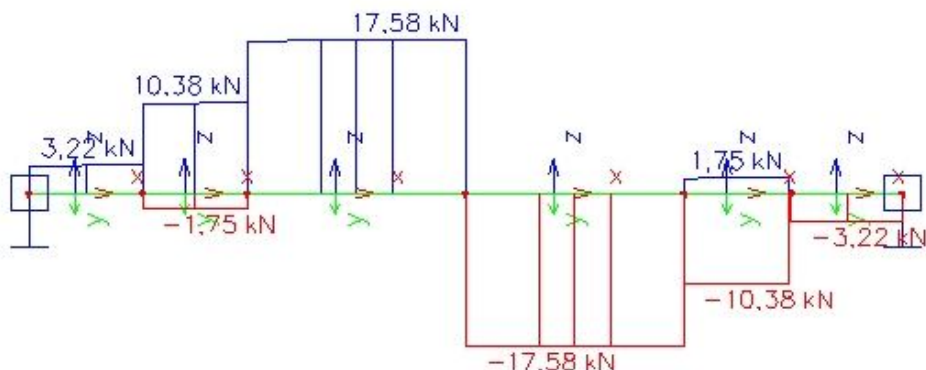
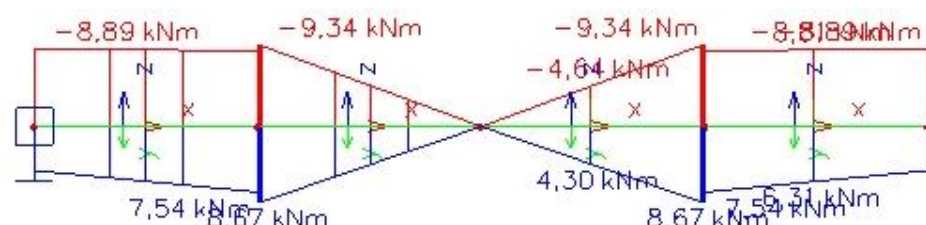
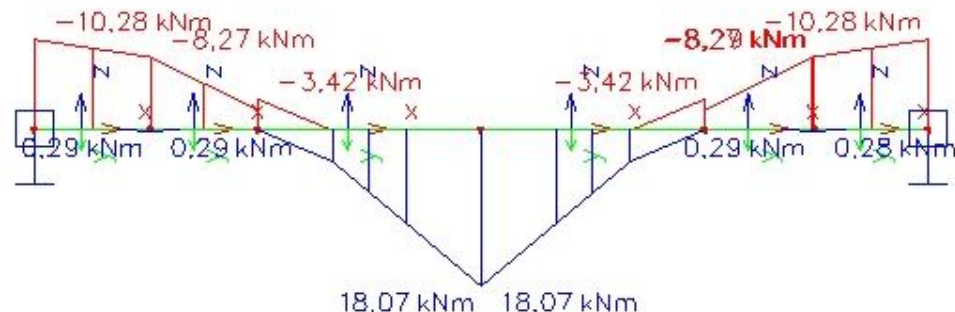
**N:** Normálové sily na väzniciach vznikajú pôsobením vlastnej tiaže prvku a taktiež sú spôsobené prenosom síl z hornej časti konštrukcie strechy. Ako môžeme vidieť na obrázku priebeh normálových síl je konštantný, pre jednotlivé polia, ako na hornej tak na dolnej väznici.

**M<sub>y</sub>:** Momenty v smere osi x sú nulové, je to spôsobené kľbovým prepojením konštrukcie, v smere x nie sú prenášané žiadne momenty.



Obr. 7.1.1 Vnútorné sily na väznici ( $N, M_x$ )

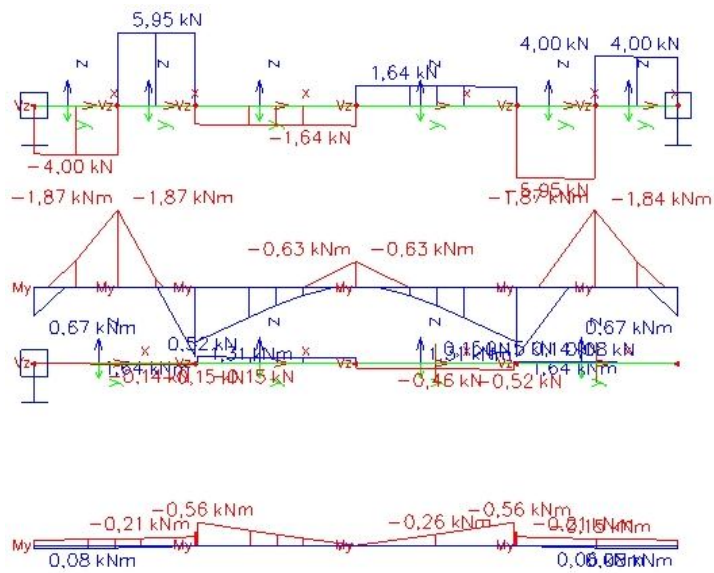
**V<sub>y</sub>:** Posúvajúce sily v smere osi y, majú taktiež konštantný priebeh. V poliach okolo plnej väzby nadobúdajú vyššich hodnôt ako v poliach jalových väzieb.

Obr. 7.1.2 – Vnútorné sily na väznici ( $V_y$ )Obr. 7.1.3 – Vnútorné sily na väznici ( $M_z$ )

**$M_z$ :** Priebeh momentov z smere lokálnej osi z je lineárny ako môžeme vidieť na obr. 7.1.3. Vypláva to z toho, že priebeh posúvajúcich sín v smere osi y je konštantný.

**$V_z$ :** Priebeh posúvajúcich sín v smere osi z je lineárny, jeho hodnoty sa menia v hornej väznici s miestach napojenia krooviev a v miestach napojenia šikmých vzpier. V dolnej väznici je hodnoty posúvajúcich sín v smere osi z menia s miestach napojenia krooviev. Priebeh a veľkosť posúvajúcich sín v smere osi z môžeme vidieť na obr. 7.1.4.

**$M_y$ :** Momenty v smere osi y majú lineárny priebeh, vyplýva to z priebehu posúvajúcich sín v smere osi z, ktorý je konštantný.

Obr. 7.1.4 Vnútorné sily na väznici ( $V_z$ ,  $M_y$ )

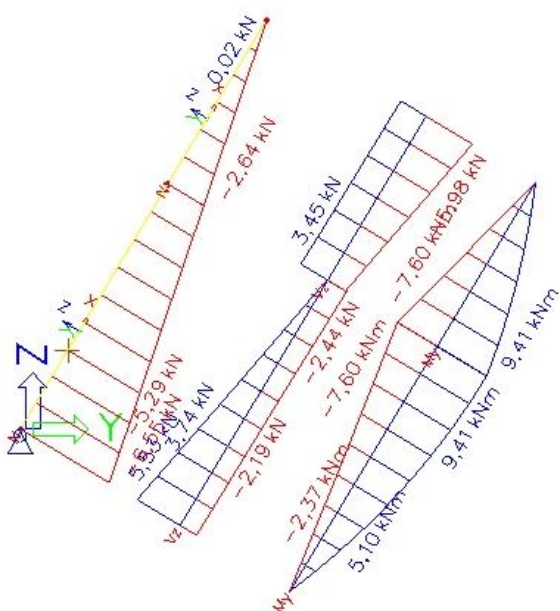
## 7.2 Krokva

Výsledky vnútorných síl sú vzťažené na lokálny súradnicový systém prvku.

**N:** Normálové sily v krokve, plnej väzby majú po celej dĺžke prútu konštantný priebeh. Majú zápornú hodnotu, čo znamená, že prvok je namáhaný tlakom. V päte prvku dosahuje norálová sily maxima.

**$V_z$ :** Posúvajúce sily v smere lokálnej osi y majú lineárny priebeh. V bode prípoja krokve s väznicou sa v priebehu posúvajúcich síl nachádza skok, čo znamená, že časť posúvajúcej sily sa prenáša do väznicie.

**$M_y$ :** Priebeh momentov na krokve má parabolický priebeh. Je to parabola  $2^{\circ}$ . Vyplýva to z priebehu posúvajúcich síl v smere osi z. Priebehy vnútorných síl na krokve plnej väzby môžeme vidieť na obr. 7.2.

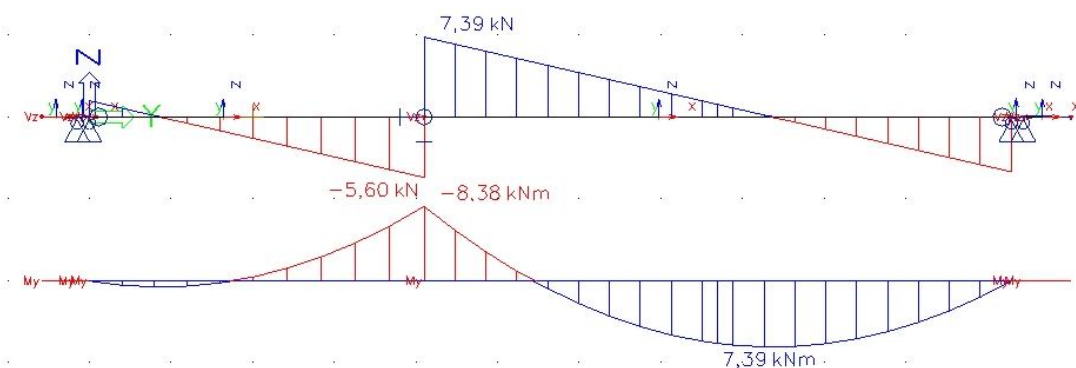
Obr.7.2 – Vnútorné sily na krokve ( $N$ ,  $V_z$ ,  $M_y$ )

### 7.3 Väzný trám

$V_z$ : Posúvajúce sily v smere osi z sú spôsobené zaťažením vlastnej tiaže väzneho trámu, stáleho zaťaženia od podlahy v podkroví a úžitkovým zaťažením pôsobiacim na väzný trám. Priebeh posúvajúcich sín je lineárny. V podpore, ktorú tvorí stena pod väzním trámom nastáva skok v priebehu posúvajúcich sín. Je spôsobený reakciou od tejto podpory.

$M_y$ : Priebeh momentov pôsobiacich v ose y je parabolický, je to parabola  $2^{\circ}$ a vyplýva to z priebehov posúvajúcich sín, ktoré sú lineárne. V podpore sú momenty záporné a v poli nosníku sú kladné.

Priebehy vnútorných sín na väznom tráme plnej väzby môžeme vidieť na obr.7.3.



Obr. 7.3 – Vnútorné sily na väznom tráme ( $V_z$ ,  $M_y$ )

### 7.4 Pásiky

Výsledky vnútorných sín sú vziazené na lokálny súradnicový systém prvku.

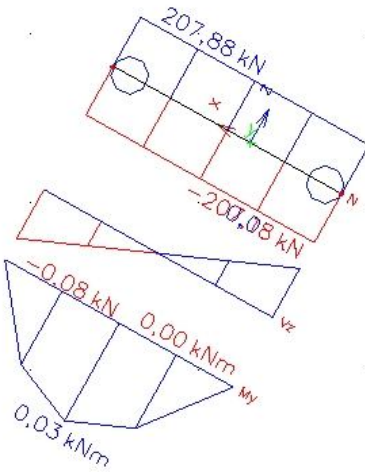
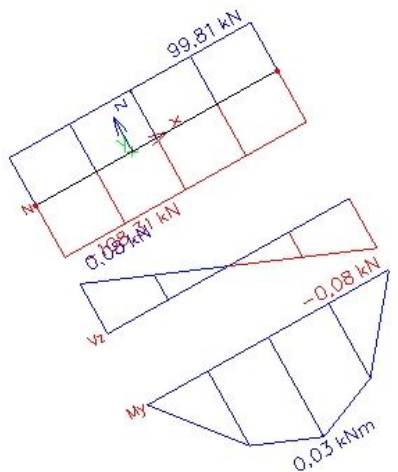
$N$ : Normálové sily na pásikoch sú spôsobené pôsobením vetra na konštrukciu. Pásiky prenášajú normálové sily zo šíkmých stĺpkov do rozpery a tým zaistujú priečnu stabilitu strechy. Pre správnosť výpočtu bol vytvorený alternatívny model (Varianta B), ktorý zabraňuje prenosu tlakovej sily z pásikov do ostatných nosných prvkov plnej väzby. Tieto tlakové sily, totiž na dané prvky nepôsobia a v reálnej konštrukcii sú prenesené spojmi, ktoré nie je možné namodelovať v programe Scia Engineer. Priebeh vnútorných sín varianta B je zobrazený na obr. 7.4.2.

$V_z$ : Posúvajúce sily s smere lokálnej osi z sú spôsobované vlastnou tiažou prvku. Majú lineárny priebeh.

$M_y$ : Momenty v smere z majú parabolický priebeh. Je to parabola  $2^{\circ}$ . Na okrajoch prvku kde sa nachádza kílový spoj sú momenty nulové.

$M_z$ : Momenty v smere osi z majú lineárny priebeh a sú kladné.

Priebehy vnútorných sín na pásikoch plnej väzby môžeme vidieť na obr. 7.4.1.



Obr. 7.4.1 – Vnútorné sily na páskoch- Var. A    Obr. 7.4.2 – Vnútorné sily na páskoch- Var. B

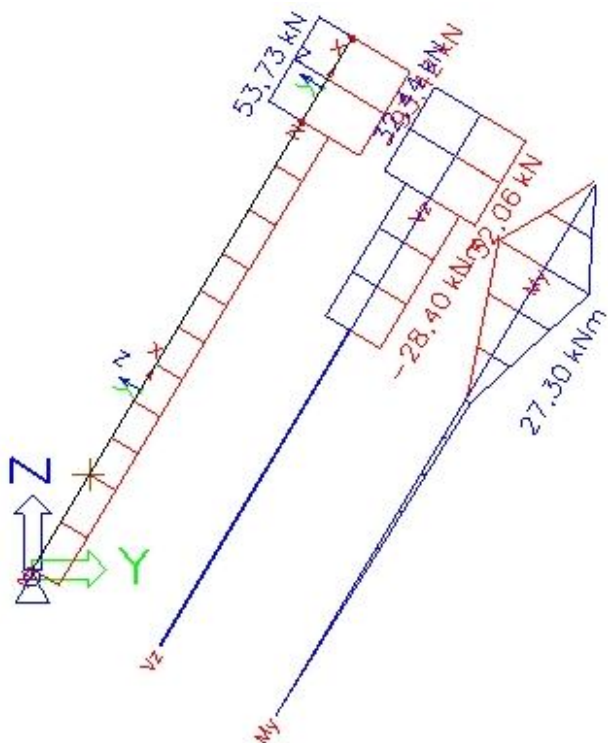
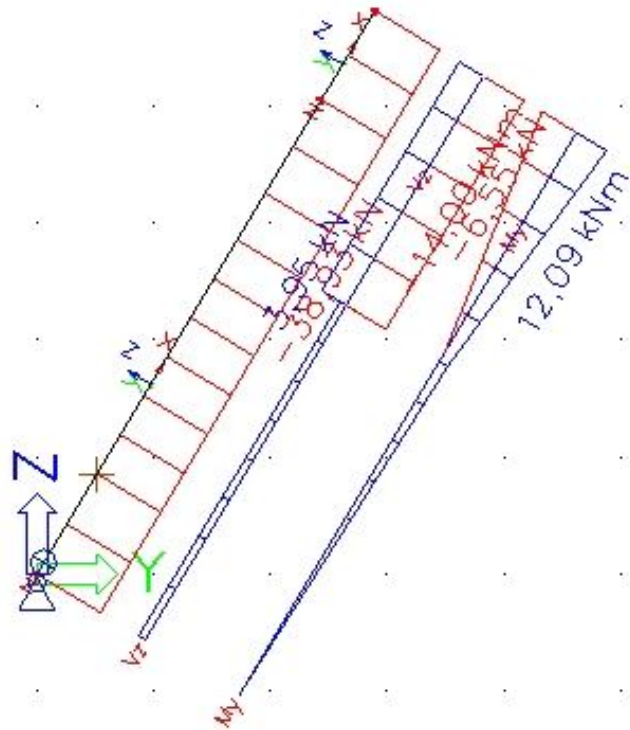
## 7.5 Šikmý stĺpik

Výsledky vnútorných síl sú vzťažené na lokálny súradnicový systém prvku.

**N:** Normálové sily na šikmom stĺpiku je konštantný, skok v priebehu normálových síl vo variante A sa nachádza v mieste pripojenia páiska. Vo variante B je priebeh normálových síl na celom prute konštantný.

**V<sub>z</sub>:** Posúvajúce sily v smere osi z majú konštantný priebeh a ich hodnota sa zvýši v mieste prípoja väznice k šikmému stĺpiku.

**M<sub>y</sub>:** Priebeh momentov v smere osi y je lineárny. Vyplýva to z priebehu posúvajúcich síl v smere osi z, ktorý je konštantný.

Obr.7.5.1 – Vnútorné sily na šikmom stĺpiku ( N, V<sub>z</sub>, M<sub>y</sub>) Varinata AObr.7.5.2 – Vnútorné sily na šikmom stĺpiku ( N, V<sub>z</sub>, M<sub>y</sub>) Varinata B

## 7.6 Šikme vzpery

Výsledky vnútorných síl sú vziažené na lokálny súradnicový systém prvku.

**N:** Normálové sily na šikmej vzpere majú konštantný priebeh. K nárastu hodnoty normálovej sily vzniká v mieste križenie šikmej vzpery s väznicou.

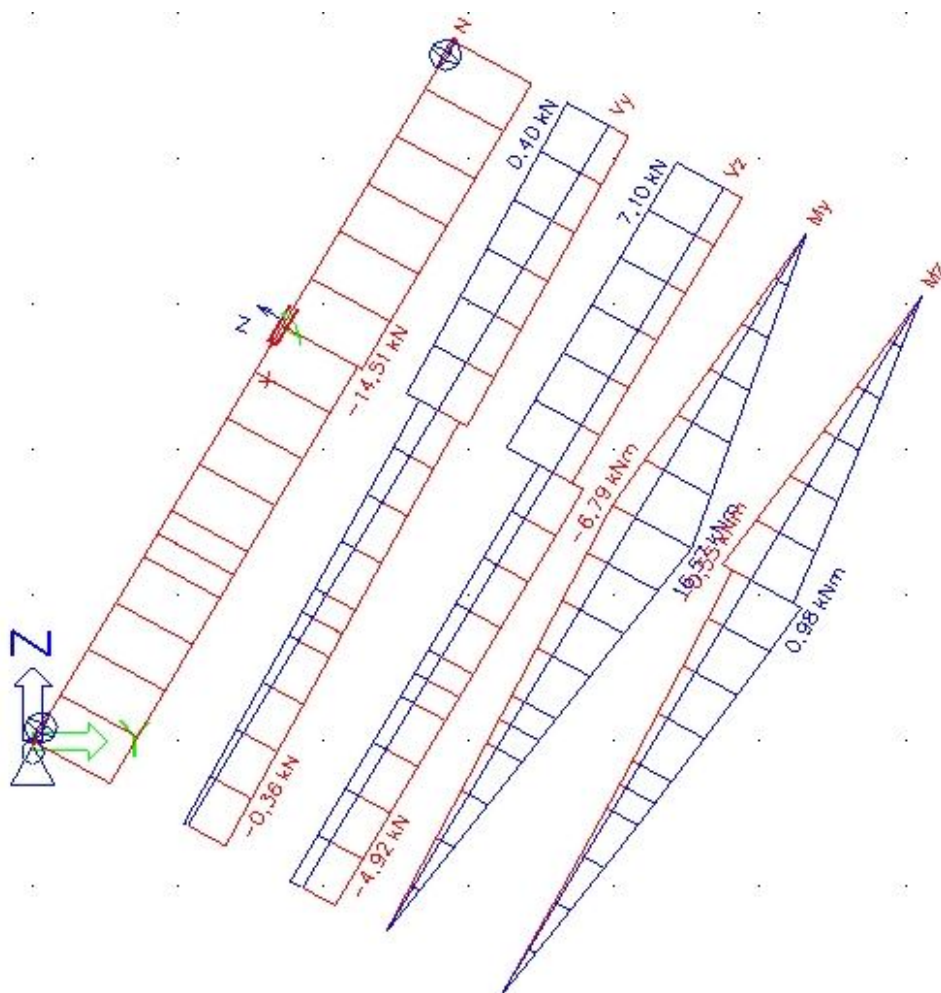
**V<sub>y</sub>:** Posúvajúce sily v smere osi y majú lineárny priebeh, ku skoku v priebehu posúvajúcich síl dochádza v mieste križenia šikmej vzpery a väznice.

**V<sub>z</sub>:** Posúvajúce sily v smere lokálnej osi z majú lineárny priebeh. K skoku v priebehu posúvajúcich síl dochádza taktiež v mieste križenia šikmej vzpery s väznicou.

**M<sub>y</sub>:** Priebeh momentov pôsobiacich v smere osi y je parabolický, vyplýva to z priebehu posúvajúcich síl v smere osi z, Maximálny moment sa nachádza v mieste križenia.

**M<sub>z</sub>:** Priebeh momentov pôsobiacich v smere osi z je taktiež parabolický, vyplýva to z priebehu posúvajúcich síl v smere osi y, ktorý je lineárny.

Priebehy vnútorných síl na šikmej vzpere plnej väzby môžeme vidieť na obr. 7.6.



Obr.7.6 – Vnútorné sily na šikmej vzpere ( N, V<sub>y</sub>, V<sub>z</sub>, M<sub>y</sub>, M<sub>z</sub>)

## 7.7 Rozpера

**N:** Normálové sily na rozpere majú konštantný priebeh, v mieste napojenia pásiakov hodnota normálovej sily narastá.

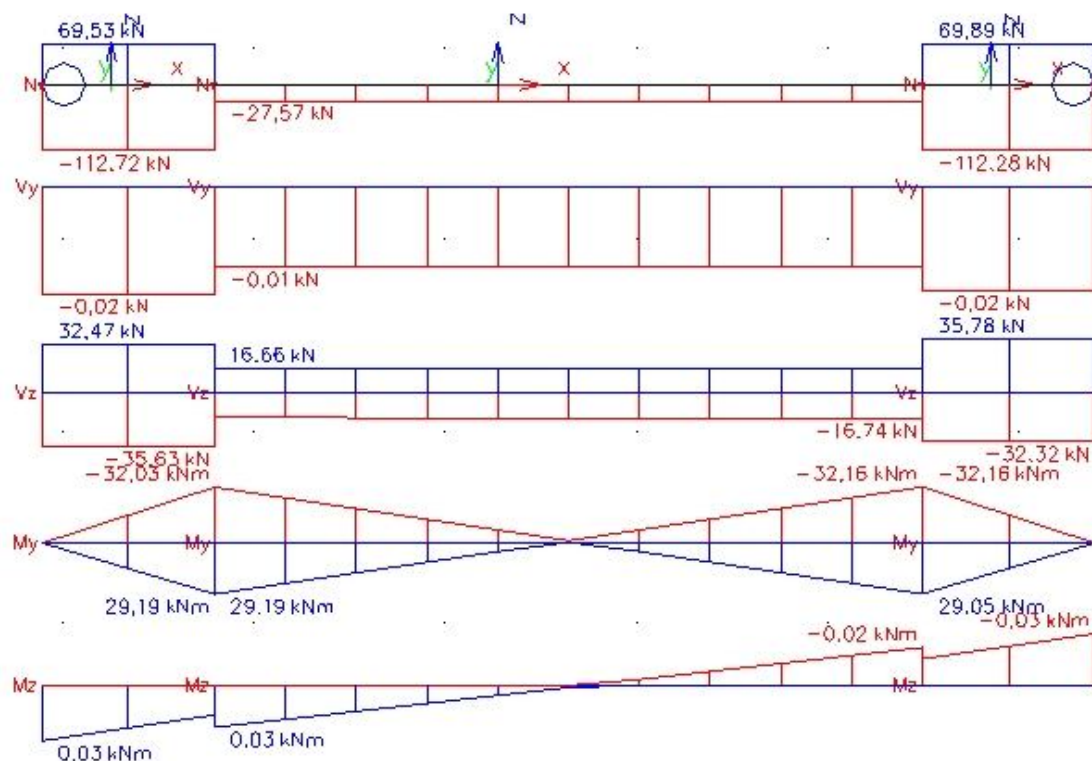
**V<sub>y</sub>:** Posúvajúce sily v smere osi y majú taktiež konštantný priebeh, po celej dĺžke vprvdku dosahuú zápornú hodnotu.

**V<sub>z</sub>:** Posúvajúce sily v smere osi z majú konštantný priebeh a rádovo väčšiu hodnotu ako posúvajúce sily v smere osi y, je to spôsobené prenosom posúvajúcej sily z pásikov.

**M<sub>y</sub>:** Momenty v smere y majú lineárny priebeh, vyplýva to z priebehu posúvajúcich sín v smere osi z.

**M<sub>z</sub>:** Momenty v smere y majú lineárny priebeh, vyplýva to z priebehu posúvajúcich sín v smere osi y, sú rádovo menšie ako momenty v smere y.

Priebehy vnútorných sín na rozpere plnej väzby môžeme vidieť na obr. 7.7.



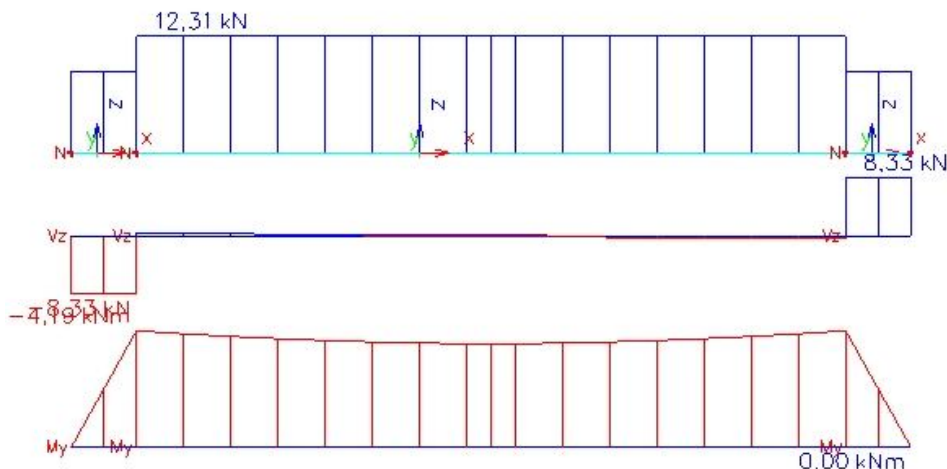
Obr.7.7 – Vnútorné sily na rozpere ( N, V<sub>y</sub>, V<sub>z</sub>, M<sub>y</sub>, M<sub>z</sub>)

## 7.8 Hambálok

**N:** Normálové sily na hambálku majú konštantný priebeh , hodnota sa mení v mieste pripojenia hambálku a rozpery.

**V<sub>y</sub>:** Posúvajúce sily v strednej časti prvku sú zanedbateľne malé oproti silám na okrajoch. Tie sú spôsobené, tým že zaťaženie pôsobí na voľné konce prvku. Majú konštantný priebeh na okrajoch, teda od miesta prípoja až po voľný koniec. V strednom poli majú priebeh lineárny.

**M<sub>y</sub>**: Momenty na okrajoch nosníku majú lineárny priebeh a stúpajú až do hodnoty maximálneho momentu na prvku, ktorý je záporný. Na oboch krajoch je moment nulový, pretože sa jedná o voľná okraj prvku. V strednej časti prvku majú momenty parabolický priebeh. Jedná sa o parabolu  $2^{\circ}$ . Vyplýva to z toho že priebeh posúvajúcich síl v strednej časti prvku je lineárny. V strede nosníku, kde je posúvajúca sila nulová sa nachádza maximálny moment. Priebehy vnútorných sín na hambálku plnej väzby môžeme vidieť na obr.7.8.



Obr.7.8 – Vnútorné sily na hambálku ( N, V<sub>z</sub>, M<sub>y</sub>)

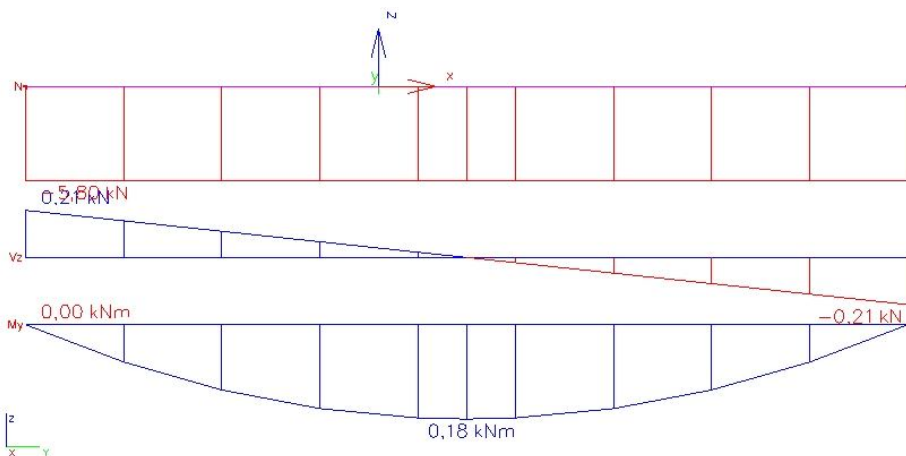
## 7.9 Horný hambálok

**N**: Normálové sily na hornom hambálku majú konštantný priebeh na celom prvku.

**V<sub>z</sub>**: Posúvajúce sily malú lineárny priebeh. V strede prvku je hodnota posúvajúcej sily nulová, v tomto mieste teda môžeme očakávať maximálnu hodnotu ohybového momentu.

**M<sub>y</sub>**: Moment má parabolický priebeh, jedná sa o parabolu  $2^{\circ}$ . V strede prvku je maximálny kladný moment. Na oboch okrajoch je moment nulový, je to spôsobené tým, že pravok je ku krovkám pripojený kľovo a kľ momenty neprenáša.

Priebehy vnútorných sín na hambálku plnej väzby môžeme vidieť na obr. 7.9.



Obr.7.9 – Vnútorné sily na hornom hambálku ( N, V<sub>z</sub>, M<sub>y</sub>)

## 7.10 Horná krokva

Výsledky vnútorných síl sú vzťažené na lokálny súradnicový systém prvku.

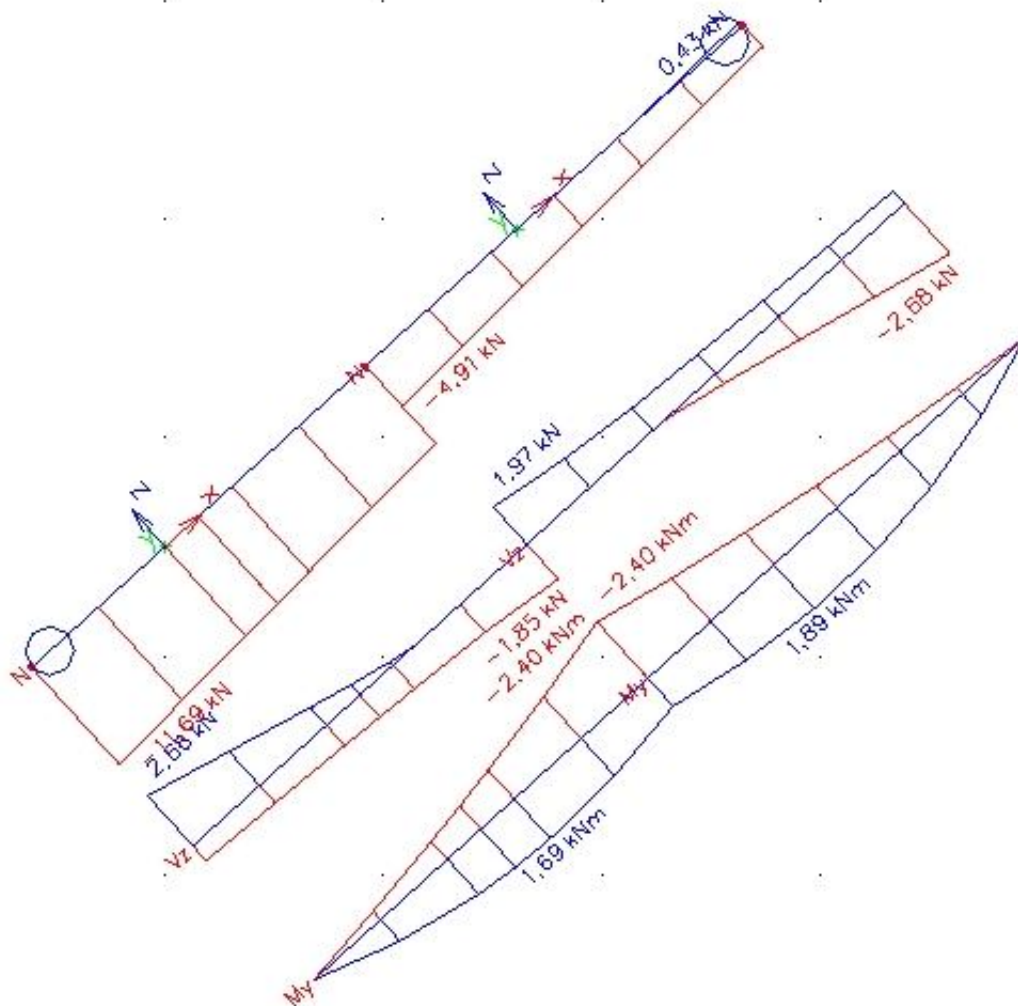
**N:** Normálové sily na horných krovkách majú lineárny priebeh, ku skoku v priebehu dochádza v mieste pripojenia hornej krokve ku hornému hambálku, ktorý tvorí pre krokvu podporu.

**V<sub>z</sub>:** Posúvajúce sily na hornej krokve majú lineárny priebeh. V bode pripojenia krokve na horný hambálok je skok, ktorý je spôsobený tým, že tento nosník sa chová ako spojiteľ a v bode pripojenia sa teda vytvára podpora. A teda posúvajúca sila vznikne o hodnotu reakcie od tejto podpory.

Ked'že priebeh posúvajúcich síl je lineárny môžeme teda predpokladať parabolický priebeh momentov.

**M<sub>y</sub>:** Priebeh momentov vyzerá ako priebeh na spojitém nosníku. Horná krokva sa tak totiž chová, vytvára sa podpora v bode pripojenia horného hambálku ku krokve. V tomto bode je moment záporný a dosahuje minima. Priebeh momentov je parabolický podľa paraboly  $2^{\circ}$ .

Priebehy vnútorných síl na hornej krokve plnej väzby môžeme vidieť na obr. 7.10.



Obr.7.10 – Vnútorné sily na hornej krokve (N, V<sub>z</sub>, M<sub>y</sub>)

## 8. Rezy na prvkoch

V tejto kapitole sú uvedené polohy spojov na jednotlivých prvkoch a vnútorné sily v daných rezoch od kombinácií podľa ČSN EN 1990 – Zásada navrhovania konštrukcií, ktoré boli vytvorené v programe Scia Engineer. Vnútorné sily v daných rezoch sú vzťažené k tiažisku spojov. Spoje budú dimenzované a posudzované na hodnoty práve týchto vnútorných síl.

Polohy spojov, teda polohy napojenia pôvodných prvkov na nové prvky - protézy, boli dané rozsahom poškodenia, konštrukčnými možnosťami a vhodnosťou zo statického hľadiska.

### 8.1 Rez 1-1' , Väznica

Rez sa nachádza 600 mm od šikmeho stĺpika na dolnej väznici, viz obr.8.1.1. V tomto reze vznikajú vnútorné sily (hodnoty vnútorných síl sú uvedené v tab.8.1). Pri výpočte posúdenia spoja a samotného prvku musíme uvažovať, že v tomto reze vzniká normálová sila N, ktorú musíme posúdiť na tlak (záporná hodnota normálovej sily) alebo ťah (kladná hodnota normálovej sily). Normálová sila pôsobí v smere osi x, viz. obr. 8.1.2. Vznikajúce posúvajúce sily, musíme posúdiť na šmykovú únosnosť. Posúvajúca sila Vy pôsobí v smere osi y a posúvajúca sila Vz pôsobí v smere osi z, viz obr.8.1.2.

Momenty My a Mz musíme posúdiť na ohybovú únosnosť. Moment My otáča prvak okolo osi y, osi väčšej tuhosti a moment Mz otáča prvak okolo osi z, viz obr.8.1.2.

Ďalej musíme tento prvak posúdiť na pôsobenie kombinácie ohyb a ťahu respektíve tlaku (to určuje znamienko normálovej sily).

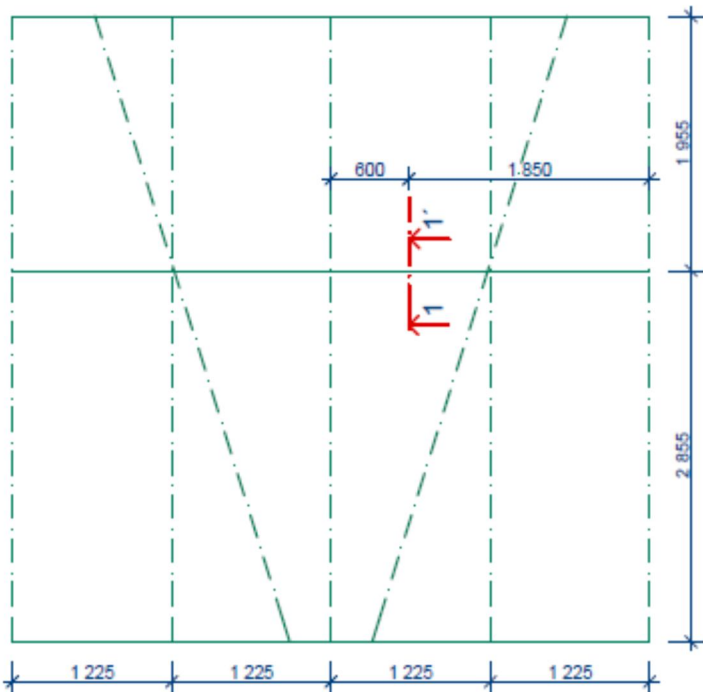
Návrhové napäcia v ťahu respektíve tlaku závisí na veľkosti normálovej sily a na ploche prierezu prvku. Väznica je obdĺžnikového prierezu, rozmer b = 170 mm (rozmer v smere osi y) a h=200 mm (rozmer v smere osi z), viz obr.8.1.3. Návrhové napäcia v ohybu k hlavným osám závisia na veľkostiach ohybových momentov k osám y a z a na prierezovom module.

Rez na väznici budeme posudzovať na vnútorné sily uvedené v tab.1. Kombináciu CO1/1 budeme posudzovať na tlak, smyk a kombináciu tlaku a ohybu. Kombináciu CO1/2 budeme posudzovať na ťah a na kombináciu ohybu a ťahu.

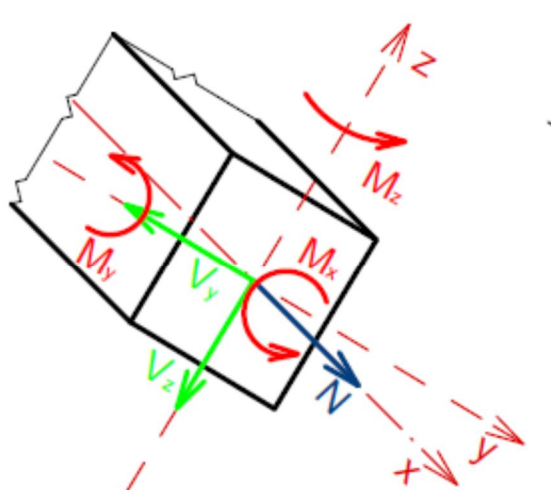
Tab.8.1 – Vnútorné sily na väznici

STAV	N[kN]	V <sub>y</sub> [kN]	V <sub>z</sub> [kN]	M <sub>x</sub> [kNm]	M <sub>y</sub> [kNm]	M <sub>z</sub> [kNm]
CO1/1	-0,97	-6,87	-0,33	0,00	-0,18	-4,13
CO1/2	1,35	7,36	0,30	0,00	0,19	4,40
CO1/3	-0,90	-6,66	-0,33	0,00	-0,18	-4,01
CO1/4	1,27	7,15	0,31	0,00	-0,20	4,28

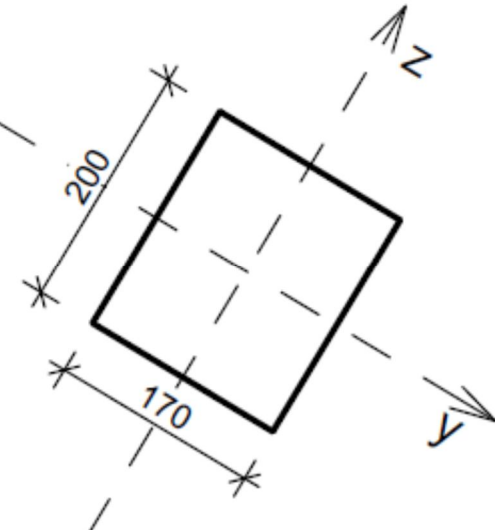
\*Vnútorné sily sú výsledkom výpočtu v programe Scia Engeneer.



Obr. 8.1.1 Miesto výskytu rezu na väzniči



Obr. 8.1.2 Pôsobenie vnútorných sil na väzniči



Obr. 8.1.3 - Prierez väzničie

## 8.2 Rez 2-2', Väzný trám

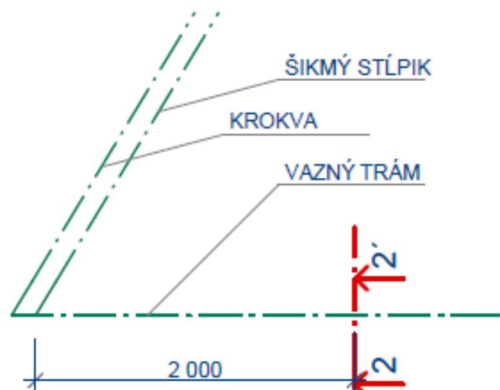
Rez sa nachádza v plnej väzbe a to 2000 mm od päty šikmého stĺpika, viz obr.8.2.1. Na väzný trám pôsobí posúvajúca sila  $V_z$  v smere osi  $z$  a moment  $M_y$  ktorý otáča prvok okolo osi  $y$ , osi väčšej tuhosti, viz obr. 8.2.2. Veľkosti vnútorných sôl sú uvedené v tab.8.2. Väzný trám teda budeme posudzovať na ohyb a šmyk. Návrhová hodnota napätia v ohybe závisí na veľkosti ohybového momentu ploche prierezu prvku. Väzný trám je obdĺžnikového prierezu, s rozmermi  $b = 220$  mm (rozmer v smere osi  $y$ ) a  $h = 250$  rozmer v smere osi  $z$ , viz obr.8.2.3.

Posúvajúca sila aj moment nadobúdajú maximálnych hodnôt v kombinácii CO1/3, ktorú budeme posudzovať ako na ohyb tak na šmyk.

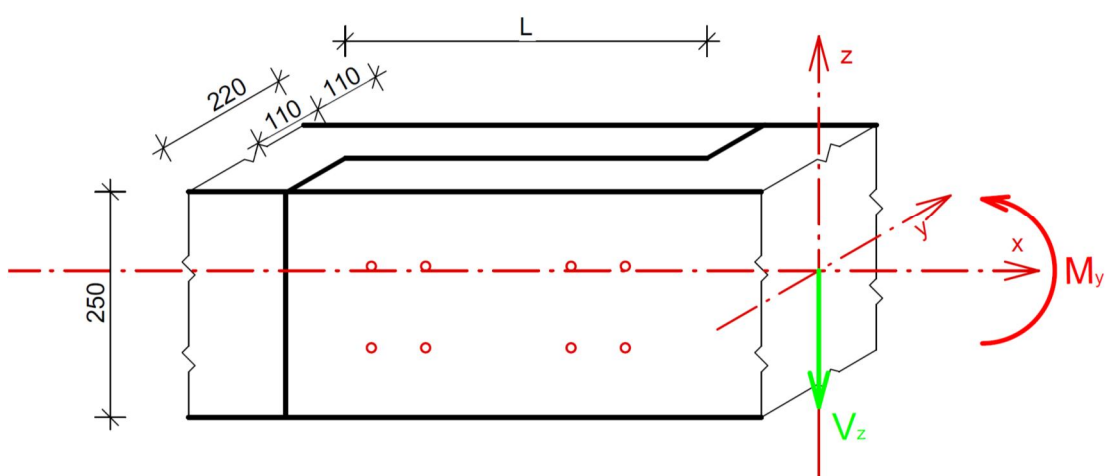
Tab.8.2 – Vnútorné sily na väznom tráme.

STAV	N[kN]	V <sub>y</sub> [kN]	V <sub>z</sub> [kN]	M <sub>x</sub> [kNm]	M <sub>y</sub> [kNm]	M <sub>z</sub> [kNm]
CO1/3	0,00	0,00	-1,45	0,00	-0,33	0,00
CO1/4	0,00	0,00	-1,66	0,00	-0,36	0,00
CO1/2	0,00	0,00	-1,45	0,00	-0,33	0,00
CO1/3	0,00	0,00	-1,96	0,00	-0,45	0,00

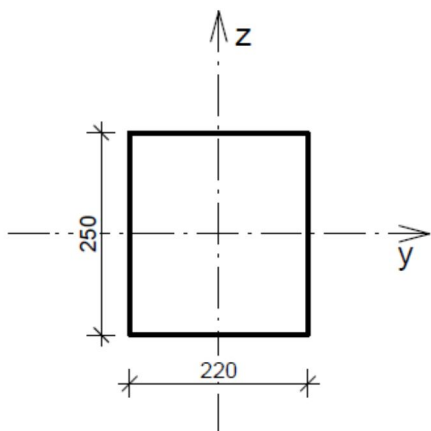
\*Vnútorné sily sú výsledkom výpočtu v programe Scia Engeneer.



Obr. 8.2.1 Miesto výskytu rezu na väznom tráme



Obr. 8.2.2 Pôsobenie vnútorných síl na väznom tráme



Obr. 8.2.3 Prierez väzného trámu

### 8.3 Rez 3-3', Šikmý stĺpik

Rez sa nachádza v plnej väzbe, 1000 mm od päty pripojenia šikmého stĺpika na väzny trám, viz obr.8.3.1.

V reze šikmého stĺpika pôsobia vnútorné sily uvedené v tab.8.3. Hodnoty normálových sín nadobúdaj záporné hodnôty. Preto je nutné tento pravok posúdiť ako na namáhanie. Normálová sila pôsobí v smere osi x, viz obr.8.3.2. Pri posúdení na namáhanie tlakom musíme uvažovať pôsobenie vzperu, k tomu sa musí určiť vzperná dĺžka pravku. V prípade šikmého stĺpika budeme uvažovať vzpernú dĺžku v smere y, osi väčšej tuhosti  $L_{cr,y} = 3,333$  m, je to dĺžka od päty stĺpika ku spoju stĺpika s väznici, ktorá bráni jeho vybočeniu v smere y. Vzpernú dĺžku v smere z, osi menšej tuhosti, budeme uvažovať  $L_{cr,z} = 4,727$  m, je to dĺžka od päty stĺpika po spoj s páskom, ktorý zabraňuje vybočeniu v smere z.

Návrhová hodnota napäťia v ľahu aj tlaku závisí na veľkosti normálovej sily a ploche prierezu daného pravku. Šikmý stĺpik má obdĺžnikový prierez, jeho rozmeri sú  $b = 150$  mm (rozmer v smere osi y)  $h = 170$  mm (rozmer v smere z), viz. obr.8.3.3.

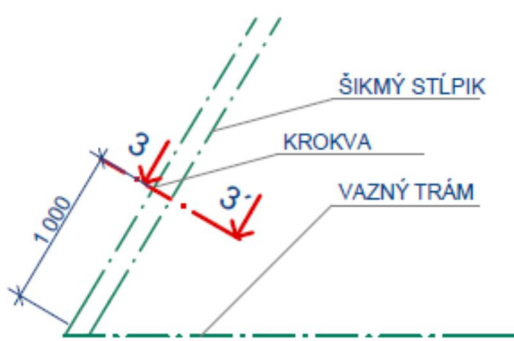
Na šikmý stĺpik pôsobí taktiež moment  $M_y$  preto tento pravok musíme posúdiť na kombináciu ľahu a ohybu a kombináciu tlaku a ohybu.

Maximálnu hodnotu normálovej tlakovej sily vykazuje kombinácia CO1/1, preto ju budeme posudzovať a tlak a na kombináciu tlaku a ohybu. Maximálny moment a maximálna posúvajúca sila je v kombinácii CO1/6, budeme ju teda posudzovať na kombináciu tlakovej sily a ohybu a na šmyk.

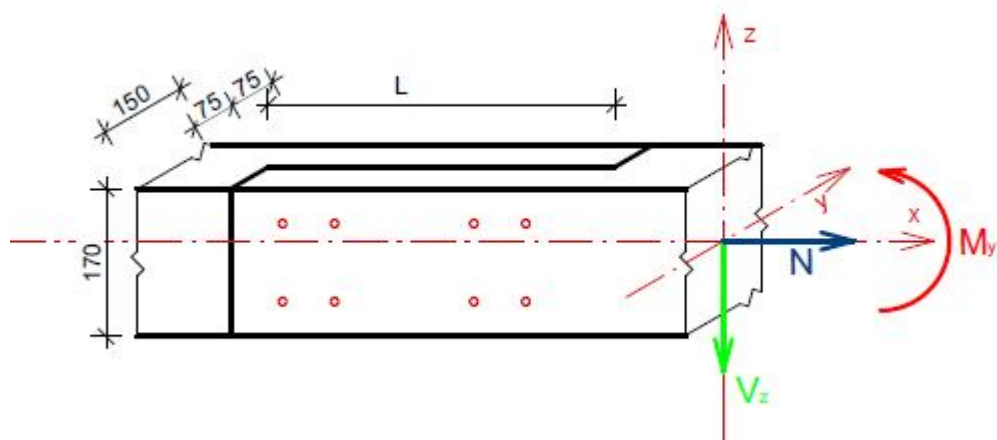
Tab. 8.3 Vnútorné sily na šikmom stĺpiku

STAV	$N[\text{kN}]$	$V_y[\text{kN}]$	$V_z[\text{kN}]$	$M_x[\text{kNm}]$	$M_y[\text{kNm}]$	$M_z[\text{kNm}]$
CO1/1	-42,82	0,00	0,37	0,00	0,39	0,00
CO1/2	-2,48	0,00	0,88	0,00	0,90	0,00
CO1/5	-12,04	0,00	0,22	0,00	0,24	0,00
CO1/6	-8,24	0,00	0,96	0,00	0,98	0,00

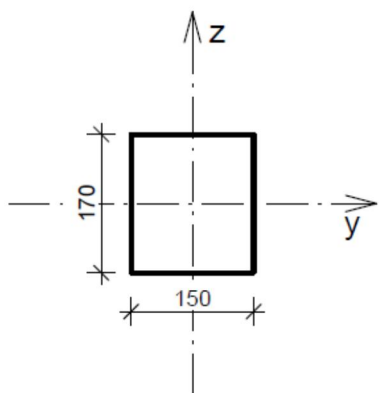
\*Vnútorné sily sú výsledkom výpočtu v programe Scia Engeneer.



Obr. 8.3.1 Miesto výskytu rezu na šikmom stĺpiku



Obr. 8.3.2 Pôsobenie vnútorných síl na šikmom stĺpiku



Obr. 8.3.3 Prierez šikmým stĺpikom

## 8.4 Rez 4-4', Krokva

Rez sa nachádza v plnej väzbe, 1100 mm od päty pripojenia krokve na väzný trám, viz obr.8.4.1.

Na krokvu pôsobia vnútorné sily uvedené v tab.8.4. Hodnoty normálových síl nadobúdajú záporných hodnôt, jedná sa teda o tlak. Normálová sila pôsobí v smere osi x, viz obr. 8.4.2. Pri posúdení na namáhanie tlakom musíme uvažovať pôsobenie vzperu, k tomu sa musí určiť vzperná dĺžka prvku. V prípade krokvy budeme uvažovať vzpernú dĺžku v smere y, osi väčšej tuhosti  $L_{cr,y} = 3,333$  m, je to dĺžka od päty krokve ku spoju krokve s väznici, ktorá bráni jej vybočeniu v smere y. Vzpernú dĺžku v smere z, ose menšej tuhosti, budeme uvažovať  $L_{cr,z} = 5,614$  m, je to dĺžka od päty krokve po spoj s hornou väznicou, ktorá zabráňuje vybočeniu v smere z.

Návrhová hodnota napäťia v ťahu aj tlaku závisí na veľkosti normálovej sily a ploche prierezu daného prvku. Krokva má štvorcový prierez, jeho rozmery sú  $b = 170$  mm (rozmer v smere osi y)  $h = 170$  mm (rozmer v smere z), viz. obr.8.4.3.

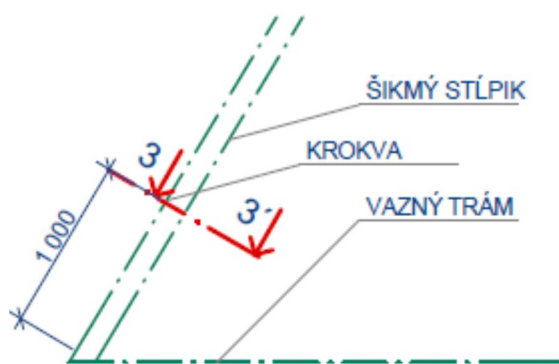
Na krokvu pôsobí taktiež moment  $M_y$  preto tento prvk musíme posúdiť na kombináciu tlaku a ohybu.

Maximálnu hodnotu normálovej tlakovej sily vykazuje kombinácia CO1/8, preto ju budeme posudzovať a tlak a na kombináciu tlaku a ohybu. Maximálny moment a maximálna posúvajúca sila je v kombinácii CO1/2, budeme ju teda posudzovať na kombináciu tlakovej sily a ohybu a na šmyk.

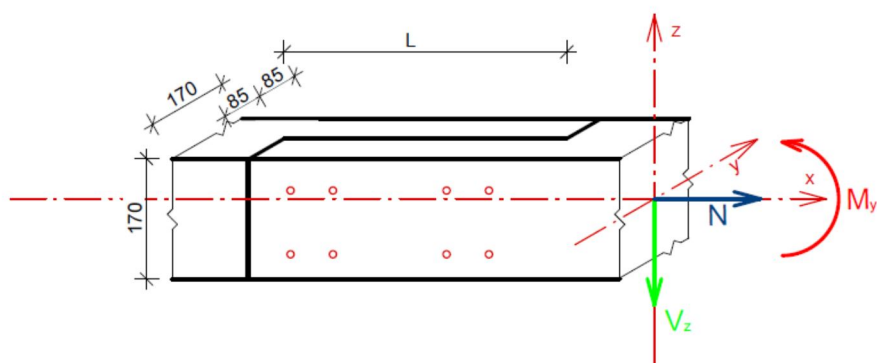
Tab. 8.4 Vnútorné sily na krokvy

STAV	<b>N[kN]</b>	<b>V<sub>y</sub>[kN]</b>	<b>V<sub>z</sub>[kN]</b>	<b>M<sub>x</sub>[kNm]</b>	<b>M<sub>y</sub>[kNm]</b>	<b>M<sub>z</sub>[kNm]</b>
CO1/8	-7,24	0,00	2,50	0,00	3,55	0,00
CO1/5	-6,18	0,00	-2,37	0,00	-2,52	0,00
CO1/6	-5,84	0,00	3,71	0,00	5,02	0,00
CO1/1	-5,46	0,00	-2,43	0,00	-2,63	0,00
CO1/2	-6,56	0,00	3,77	0,00	5,13	0,00

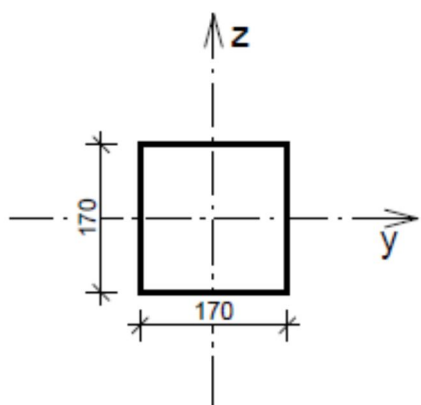
\*Vnútorné sily sú výsledkom výpočtu v programe Scia Engeneer.



Obr. 8.4.1 Miesto výskytu rezu na krokve



Obr. 8.4.2 Pôsobenie vnútorných síl na krokve



Obr. 8.4.3 Prierez krokve

## 9. Posúdenie prvkov

Je nutné posúdiť ako plné prvky tak prvky polovičného prierezu, ktorý musí preniesť všetky vnútorné sily. Polovičný prierez sa bude nachádzať v spoji, kde bude navrhnutá protéza poškodeného prvku. Vnútorné sily uvažované na reze sú vztiahnuté k tiažisku rezu.

Tu sú uvedené základné posudky prierezov podľa ČSN EN 1995-1-1. Ktoré budú vypočítané na jednotlivých prierezoch posudzovaných prvkov. Konkrétnie posudky sú uvedené v prílohe 16.4 – 16.7.

### 9.1 Posúdenie na tāh

Posudok na namáhanie tāhom musíme vykonať pokiaľ na danom prvku pôsobí kladná normálová sila. Musí byť splnená nasledujúca podmienka:

$$\sigma_{t,0,d} \leq f_{t,0,d}$$

Kde:

$\sigma_{t,0,d}$  je návrhové napätie v tāhu pozdĺž vlákien

$f_{t,0,d}$  je návrhová pevnosť v tāhu pozdĺž vlákien

### 9.2 Posúdenie na tlak

Posúdenie na tlak musíme vykonať pokiaľ na daný prvek pôsobí normálová sila, ktorá má zápornú hodnotu. Musí byť splnená nasledujúca podmienka:

$$\sigma_{c,0,d} \leq f_{c,0,d}$$

Kde:

$\sigma_{c,0,d}$  je návrhové napätie v tlaku pozdĺž vlákien

$f_{c,0,d}$  je návrhová pevnosť v tlaku pozdĺž vlákien

Musia byť splnené pravidla pre stabilitu prvku.

### 9.3 Posúdenie na ohyb

Posúdenie na ohyb musíme vykonať pokiaľ na prvek pôsobí ohybový moment v smere y v smere y alebo v oboch smeroch. Musí byť splnené podmienky:

$$\frac{\sigma_{m,y,d}}{f_{m,y,d}} + k_m \frac{\sigma_{m,z,d}}{f_{m,z,d}} \leq 1,0$$

$$k_m \frac{\sigma_{m,y,d}}{f_{m,z,d}} + \frac{\sigma_{m,z,d}}{f_{m,z,d}} \leq 1,0$$

Kde:

$\sigma_{m,y,d}$  je návrhové napätie v ohybu k ose y

$\sigma_{m,z,d}$  je návrhové napätie v ohybu k ose z  
 $f_{m,y,d}$  je návrhová pevnosť v ohybu k ose y  
 $f_{m,z,d}$  je návrhová pevnosť v ohybu k ose z  
 $k_m$  súčinitel', pre obdlžnikové profily  $k_m = 0,7$   
Musia byť splnené pravidla pre stabilitu prvku.

## 9.4 Posúdenie na šmyk

Posúdenie na šmyk musíme vykonať pokiaľ na prvk pôsobí posúvajúca sila alebo v smere hlavnej osi y alebo v smere hlavnej osi z. Musí byť splnená podmienka:

$$\tau_d \leq f_{v,d}$$

Kde:

$\tau_d$  je návrhové napätie vo šmyku  
 $f_{v,d}$  je návrhová pevnosť vo šmyku

## 9.5 Posúdenie na kombináciu tāhu a ohybu

Posúdenie na kombináciu tāhu a ohybu musíme vykonať pokiaľ na prvak pôsobí kombinácia normálnej sily, kladnej hodnoty a ohybový moment k ose y a z. Musí byť splnené nasledujúce podmienky:

$$\frac{\sigma_{t,0,d}}{f_{t,0,d}} + \frac{\sigma_{m,y,d}}{f_{m,y,d}} + k_m \frac{\sigma_{m,z,d}}{f_{m,z,d}} \leq 1,0$$

$$\frac{\sigma_{t,0,d}}{f_{t,0,d}} + k_m \frac{\sigma_{m,y,d}}{f_{m,y,d}} + \frac{\sigma_{m,z,d}}{f_{m,z,d}} \leq 1,0$$

Kde:

$\sigma_{t,0,d}$  je návrhové napätie v tāhu pozdĺž vlákien  
 $\sigma_{m,y,d}$  je návrhové napätie v ohybu k ose y  
 $\sigma_{m,z,d}$  je návrhové napätie v ohybu k ose z  
 $f_{t,0,d}$  je návrhová pevnosť v tāhu pozdĺž vlákien  
 $f_{m,y,d}$  je návrhová pevnosť v ohybu k ose y  
 $f_{m,z,d}$  je návrhová pevnosť v ohybu k ose z  
 $k_m$  súčinitel', pre obdlžnikové profily  $k_m = 0,7$

## 9.6 Posúdenie na kombináciu tlaku a ohybu

Posúdenie na kombináciu tlaku a ohybu musíme vykonať pokiaľ na prvak pôsobí kombinácia normálovej sily, kladnej hodnoty a ohybový moment k ose y a z. Musí byť splnené nasledujúce podmienky:

$$\left( \frac{\sigma_{c,0,d}}{f_{c,0,d}} \right)^2 + \frac{\sigma_{m,y,d}}{f_{m,y,d}} + k_m \frac{\sigma_{m,z,d}}{f_{m,z,d}} \leq 1,0$$

$$\left( \frac{\sigma_{c,0,d}}{f_{c,0,d}} \right)^2 + k_m \frac{\sigma_{m,y,d}}{f_{m,y,d}} + \frac{\sigma_{m,z,d}}{f_{m,z,d}} \leq 1,0$$

Pokiaľ sú splnené podmienky :  $\lambda_{rel,y} \leq 0,3$  a  $\lambda_{rel,z} \leq 0,3$

$\lambda_{rel,y}$  a  $\lambda_{rel,z}$  sú pomerné štíhlosti odpovedajúce ohybu okolo ôs y a z

V ostatných prípadoch musia byť splnené podmienky:

$$\frac{\sigma_{c,0,d}}{k_{c,y} f_{c,0,d}} + \frac{\sigma_{m,y,d}}{f_{m,y,d}} + k_m \frac{\sigma_{m,z,d}}{f_{m,z,d}} \leq 1,0$$

$$\frac{\sigma_{c,0,d}}{k_{c,z} f_{c,0,d}} + k_m \frac{\sigma_{m,y,d}}{f_{m,y,d}} + \frac{\sigma_{m,z,d}}{f_{m,z,d}} \leq 1,0$$

Priečna a torzná stabilita sa musí overiť v prípade pôsobenia kombinácie momentu  $M_y$  k ose väčšej tuhosti a normálovej sily N.

Musí byť splnená podmienka:

$$\left( \frac{\sigma_{m,d}}{k_{crit} f_{m,d}} \right) + \frac{\sigma_{c,d}}{k_{c,z} f_{c,0,d}} \leq 1,0$$

Kde:

$\sigma_{c,0,d}$  je návrhové napätie v tlaku pozdĺž vláken

$\sigma_{m,y,d}$  je návrhové napätie v ohybu k ose y

$\sigma_{m,z,d}$  je návrhové napätie v ohybu k ose z

$f_{c,0,d}$  je návrhová pevnosť v tlaku pozdĺž vláken

$f_{m,y,d}$  je návrhová pevnosť v ohybu k ose y

$f_{m,z,d}$  je návrhová pevnosť v ohybu k ose z

$k_m$  súčinitel', pre obdĺžnikové profily  $k_m = 0,7$

$k_{c,y}$  je súčinitel' vzperu vzťahujúci sa k ose y

$k_{c,z}$  je súčinitel' vzperu vzťahujúci sa k ose z

$k_{crit}$  je súčinitel', ktorý berie v úvahu redukovanú pevnosť v ohybe v dôsledku priečnej a torznej stability

## 10. Posúdenie spojov

Je nutné navrhnuť a posúdiť spoje, ktoré budú spojovať navrhnutú protézu a pôvodný prvak. Musí byť zabezpečená dostatočná únosnosť spoja.

Budú navrhnuté spoje jedno strižné, za použitia preplánovania prvkov a spoje dvoj strižné, za použitia príložiek. Ako spojovací prostriedok budú použité svorníky.

V spoji sa bude nachádzať viacero spojovacích prostriedkov. Usporiadanie a rozmery spojovacích prostriedkov v spoji a rozstupy a vzdialenosť od okrajov a koncov sa musia zvoliť tak., aby bola dosiahnutá očakávaná pevnosť a tuhost'.

### 10.1 Únosnosť spojovacieho prostriedku

Tu sú uvedené základné posudky prierezov podľa ČSN EN 1995-1-1. Ktoré budú vypočítané na jednotlivých prierezoch posudzovaných prvkov. Konkrétnie posudky pre jednotlivé rezy sú uvedené v prílohe 16.4 – 16.7.

Pri určovaní charakteristickej únosnosti spojov s kovovými spojovacími prostriedkami kolíkového typu sa musia zohľadniť medze klzu, pevnosti v odtlačení a pevnosť na vytiahnutie spojovacích prostriedkov.

Charakteristická pevnosť pre jedno strižné spoj jedného spojovacieho prostriedku sa má pre svorníky uvažovať ako najmenšia hodnota stanovená podľa nasledujúcich vzťahov:

$$a) \quad F_{v,Rk} = f_{h,1,k} t_1 d$$

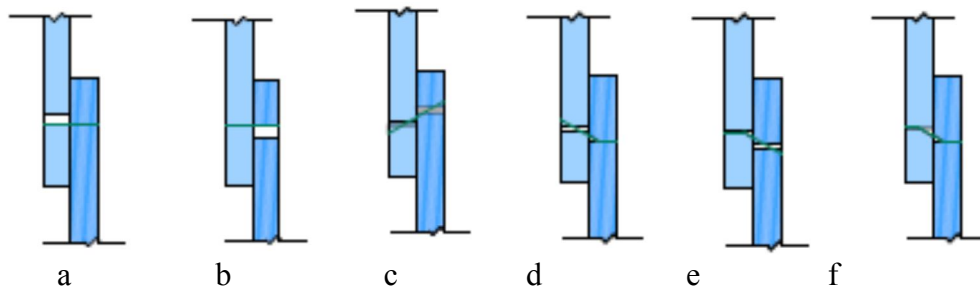
$$b) \quad F_{v,Rk} = f_{h,2,k} t_2 d$$

$$c) \quad F_{v,Rk} = \frac{f_{h,1,k} t_1 d}{1 + \beta} \left[ \sqrt{\beta + 2\beta^2 \left[ 1 + \frac{t_2}{t_1} + \left( \frac{t_2}{t_1} \right)^2 \right]} + \beta^3 \left( \frac{t_2}{t_1} \right)^2 - \beta^3 \left( 1 + \frac{t_2}{t_1} \right) \right] + \frac{F_{ax,Rk}}{4}$$

$$d) \quad F_{v,Rk} = 1,05 \frac{f_{h,1,k} t_1 d}{2 + \beta} \left[ \sqrt{2\beta(1 + \beta) + \frac{4\beta(2 + \beta)M_{y,Rk}}{f_{h,1,k} dt_1^2}} - \beta \right] + \frac{F_{ax,Rk}}{4}$$

$$e) \quad F_{v,Rk} = 1,05 \frac{f_{h,1,k} t_2 d}{1 + 2\beta} \left[ \sqrt{2\beta^2(1 + \beta) + \frac{4\beta(2 + \beta)M_{y,Rk}}{f_{h,1,k} dt_2^2}} - \beta \right] + \frac{F_{ax,Rk}}{4}$$

$$f) \quad F_{v,Rk} = 1,15 \sqrt{\frac{2\beta}{1 + \beta}} \sqrt{2M_{y,Rk} f_{h,1,k} d} + \frac{F_{ax,Rk}}{4}$$



Obr.10.1 Spôsoby porušenia pre spoje jedno strižné

## 10.2 Svorníkový spoj

Pre svorníky sa majú uvažovať nasledujúce charakteristické hodnoty plastického momentu únosnosti:

$$M_{y,Rk} = 0,3f_{u,k}d^{2,6}$$

Kde:

$M_{y,Rk}$  je charakteristická hodnota plastického momentu únosnosti v Nmm

$f_{u,k}$  je charakteristická pevnosť v tahu v N/mm<sup>2</sup>

$d$  je priemer svorníka

Pre svorníky do priemera 30 mm sa majú používať nasledujúce hodnoty charakteristických pevností v odtlačení v dreve.

$$f_{h,0,k} = 0,082(1 - 0,01d)\rho_k$$

Kde:

$f_{h,0,k}$  je charakteristická pevnosť v odtlačení rovnobežne s vláknami v N/mm<sup>2</sup>

$\rho_k$  je charakteristická hodnota dreve v kg/m<sup>3</sup>

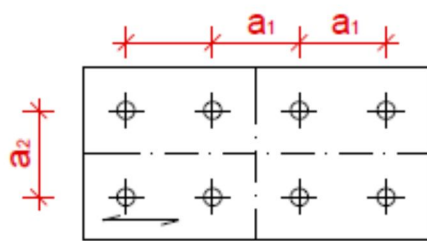
$d$  je priemer svorníku

## 10.3 Rozstupy spojovacích prostriedkov

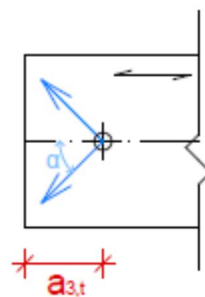
Minimálne rozstupy a vzdialosti spojovacích prostriedkov (svorníkov) od krajov koncov sú uvedené v tab. 10.2.

Tab. 10.2 Minimálne rozstupy pre svornky

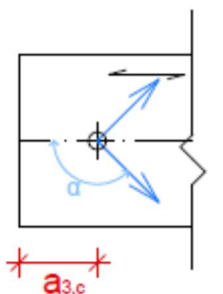
vzdialosti	uhol $\alpha$	Najmenšie vzdialenosť alebo rozstupy od koncov/krajov
rozstup $a_1$ (rovnobežne s vláknami) viz obr. 10.3.1	$0^\circ \leq \alpha \leq 360^\circ$	$(4 +  \cos \alpha )d$
rozstup $a_2$ (kolmo na vlákna) viz obr. 10.3.1	$0^\circ \leq \alpha \leq 360^\circ$	$4d$
vzdialenosť $a_{3,t}$ (zaťažený koniec) viz obr. 10.3.2	$-90^\circ \leq \alpha \leq 90^\circ$	$\max(7d; 80\text{mm})$
vzdialenosť $a_{3,c}$ (nezatažený koniec) viz obr. 10.3.3	$90^\circ \leq \alpha \leq 150^\circ$ $150^\circ \leq \alpha \leq 210^\circ$ $210^\circ \leq \alpha \leq 270^\circ$	$\max[(1 + 6 \sin \alpha)d; 4d]$ $4d$ $\max[(1 + 6 \sin \alpha)d; 4d]$
vzdialenosť $a_{4,t}$ (zaťažený okraj) viz obr. 10.3.4	$0^\circ \leq \alpha \leq 180^\circ$	$\max[(2 + 2 \sin \alpha)d; 3d]$
vzdialenosť $a_{4,c}$ (nezatažený okraj) viz obr. 10.3.5	$180^\circ \leq \alpha \leq 360^\circ$	$3d$



Obr. 10.3.1 Rozstupy  $a_1$  a  $a_2$   
koniec

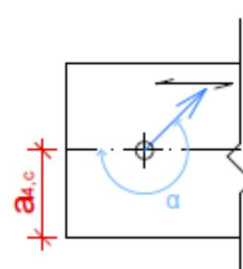
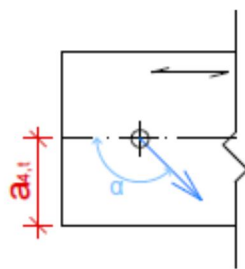


Obr. 10.3.2 Vzdialenosť  $a_{3,t}$  začažený



Obr. 10.3.3 Vzdialenosť  $a_{3,c}$  Obr. 10.3.4 Vzdialenosť  $a_{4,t}$  Obr. 10.3.4 Vzdialenosť  $a_{4,c}$

Usporiadanie a rozmery spojovacích prostriedkov v spoji a rozstupy a vzdialenosť od okrajov a koncov sa musia zvoliť tak., aby bola dosiahnutá očakávaná pevnosť a tuhost'.



## 10.4 Posúdenie

Pre posudok spoja musí byť splnená podmienka:

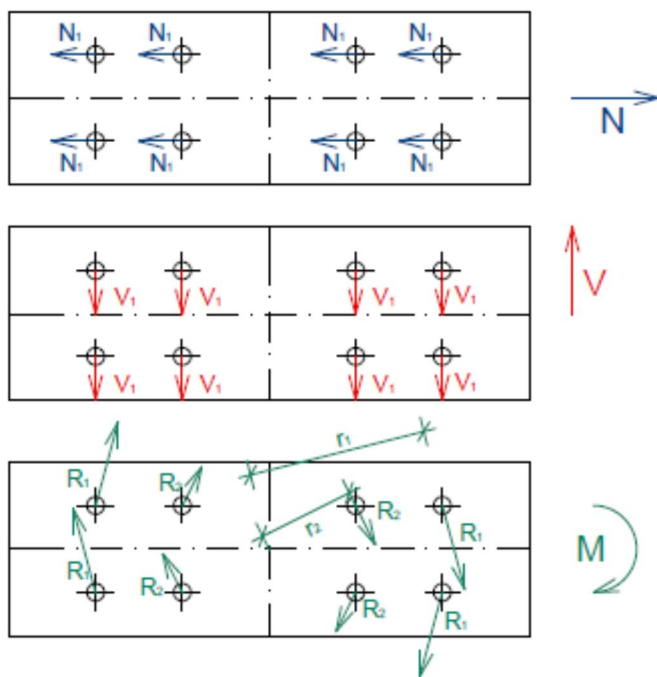
$$F_{Ed} \leq F_{v,Rd}$$

Kde:

$F_{Ed}$  je návrhová sila pôsobiaca na jeden spojovací prostriedok

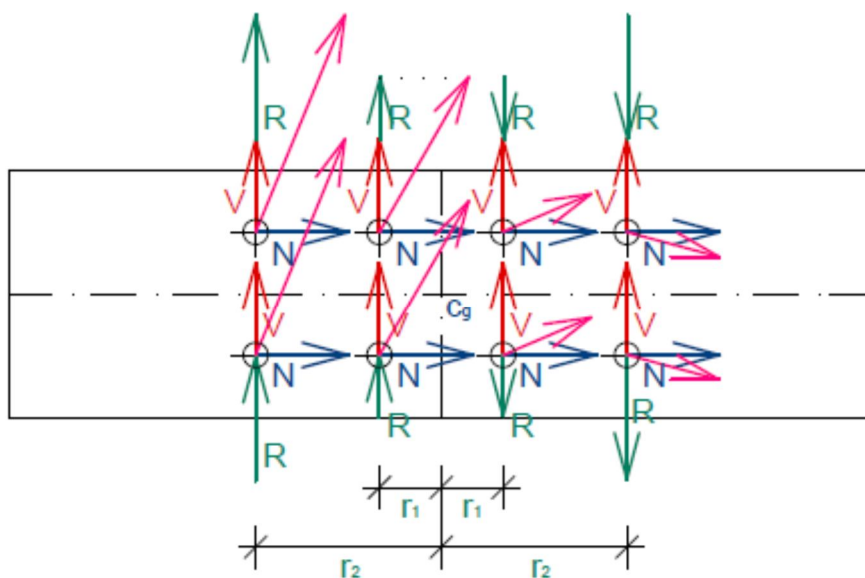
$F_{v,Rd}$  je návrhová únosnosť jedného strihu jedného spojovacieho prostriedku

Sila pôsobiaca na jeden spojovací prostriedok je výslednica všetkých sôl pôsobiacich na daný spojovací prostriedok. Ak na spoj pôsobí normálková sila jej účinky sa rovnomerne rozdelia medzi všetky spojovacie prostriedky. Posúvajúca sila pôsobiaca na spoj sa taktiež rovnomerne rozdelí medzi všetky spojovacie prostriedky. Ak na spoj pôsobí moment, na každý spojovací prostriedok pôsobí sila od tohto momentu, na určitom ramene. To závisí na polohe daného spojovacieho prostriedku. Rameno je vzdialenosť spojovacieho prostriedku od ťažiska spoja.



Obr. 10.4.1 Rozdelenie vnútorných síl na jednotlivé svorníky

Sily pôsobiace na jednotlivé svorníky od momentu majú v každom spojovacom prostriedku iný smer. Pre zjednodušenie výpočtu budeme počítať, že majú smer kolmý na smer vláken. Taktiež pre zjednodušenie budeme počítať, že rameno je vzdialosť spojovacieho prostriedku od ťažiska vo vodorovnom smere, viz obr. 10.4.2.



Obr. 10.4.2 Rozdelenie síl na jednotlivé spojovacie prostriedky

## 11. Návrh spojov

V poškodených miestach konštrukcie, v zadaných rezoch, boli navrhnuté spoje. Boli nadimenzované na vnútorné sily, ktoré sú výsledkom výpočtu z programu Scia Engeneering, viz kapitola 8. Konkrétny posudky sú uvedené v prílohach 16.4 až 16.7.

### 11.1 Spoj v reze 1-1', väznica

Na väznici bol navrhnutý jedno strižný spoj, spojovacím prostriedkom sú svorníky. Geometria a uloženie svorníkov je zobrazené na obr. 11.1.1

Spoj pozostáva z 24 svorníkov, priemeru 8 mm.

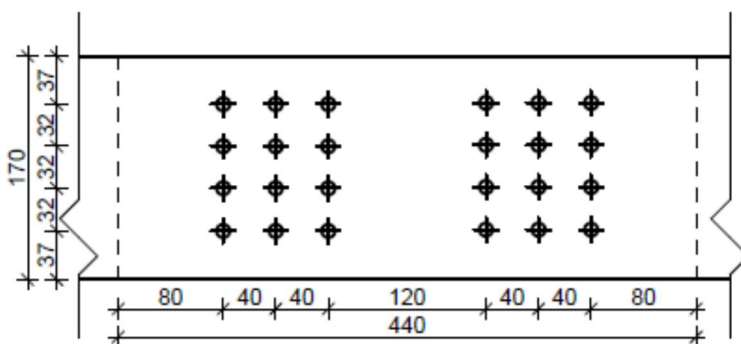
Veľkosť spoja je z 440 mm.

Charakteristická únosnosť jedného spojovacieho prostriedku je  $F_{v,Rd} = 2664,4 \text{ N}$

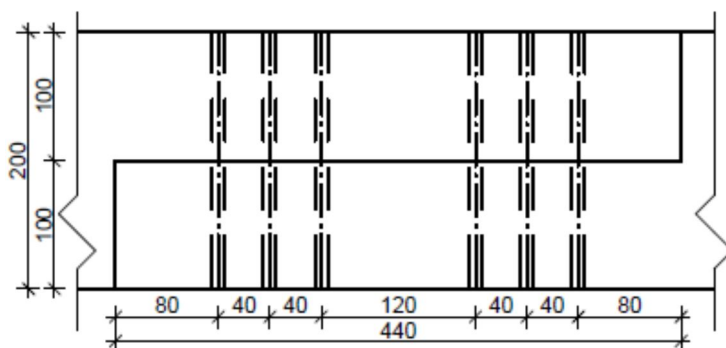
Maximálna pôsobiaca sila na jeden spojovací prostriedok je  $F_{Ed} = 2626,5 \text{ N}$

Tab 11.1 Rozstupy a vzdialenosť

	MIN	NÁVRH	POSÚDENIE
a <sub>1</sub>	40	40	VYHOVUJE
a <sub>2</sub>	32	32	VYHOVUJE
a <sub>3</sub>	80	80	VYHOVUJE
a <sub>4</sub>	32	37	VYHOVUJE



Obr. 11.1.1 Spoj na väznici

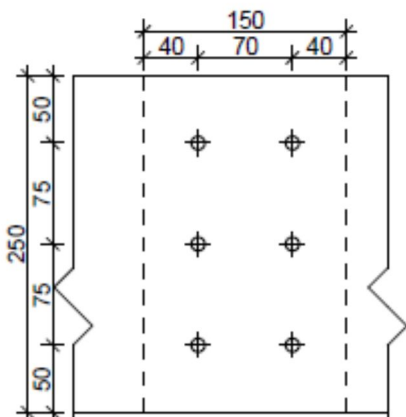


Obr. 11.1.2 Rez spojom na väznici

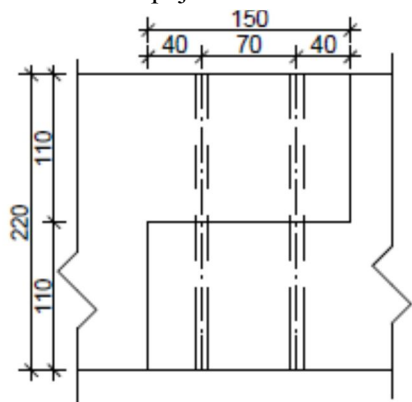
## 11.2 Spoj v reze 2-2', väzný trám

Na väznom tráme bol navrhnutý jedno strižný spoj, spojovacím prostriedkom sú svorníky. Geometria a uloženie svorníkov je zobrazené na obr. 11.2.1  
 Spoj pozostáva z 6 svorníkov, priemeru 10 mm.  
 Veľkosť spoja je 150 mm.  
 Charakteristická únosnosť jedného spojovacieho prostriedku je  $F_{v,Rd} = 3898,3\text{N}$   
 Maximálna pôsobiaca sily na jeden spojovací prostriedok je  $F_{Ed} = 2469,5\text{N}$   
 Tab. 11.2 Rozstupy a vzdialenosťi

	MIN	NÁVRH	POSÚDENIE
$a_1$	50	70	VYHOVUJE
$a_2$	40	75	VYHOVUJE
$a_3$	40	40	VYHOVUJE
$a_4$	30	50	VYHOVUJE



Obr. 11.2.1 Spoj na väznom tráme



Obr. 11.2.2 Rez spojom na väznom tráme

### 11.3 Spoj v reze 3-3', šikmý stĺpik

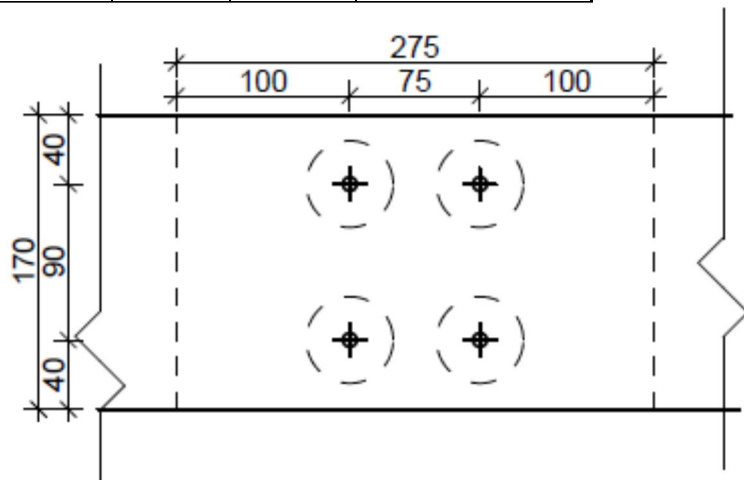
Na šikmom stĺpiku bol navrhnutý jedno strižný spoj, spojovacím prostriedkom sú svorníky. Geometria a uloženie svorníkov je zobrazené na obr. 11.3.1

Spoj pozostáva z 4 svorníkov, priemeru 16 mm a 4 ozubených hmoždinek priemeru 50 mm, Veľkosť spoja je 275 mm.

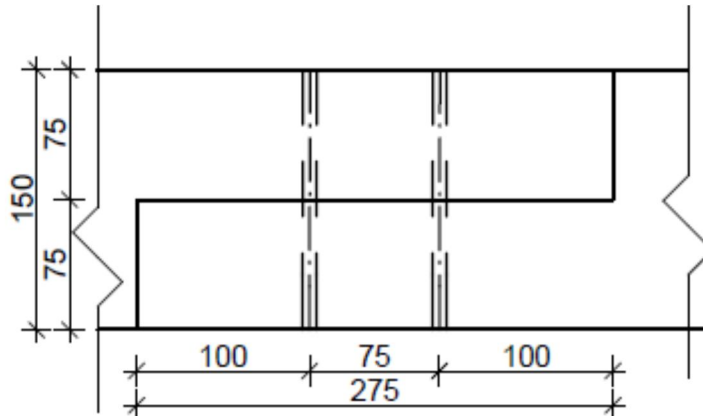
Charakteristická únosnosť jedného spojovacieho prostriedku je  $F_{v,Rd} = 14003 \text{ N}$   
Maximálna pôsobiaca sily na jeden spojovací prostriedok je  $F_{Ed} = 11038 \text{ N}$

Tab.11.3 Rozstupy a vzdialenosť

	MIN	NÁVRH	POSÚDENIE
a <sub>1</sub>	75	75	VYHOVUJE
a <sub>2</sub>	60	90	VYHOVUJE
a <sub>3</sub>	100	100	VYHOVUJE
a <sub>4</sub>	40	40	VYHOVUJE



Obr. 11.3.1 Spoj na šikmom stĺpiku



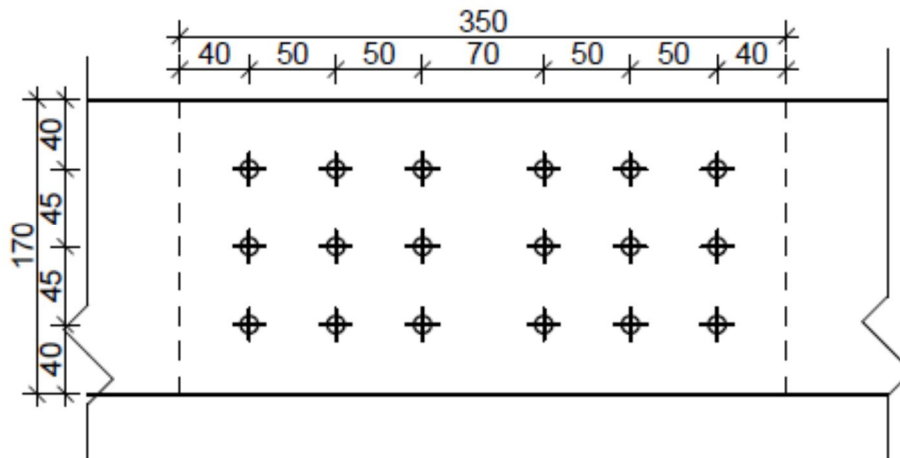
Obr. 11.3.2 Rez spojom na šikmom stĺpiku

## 11.4 Spoj v reze 4-4', krokva

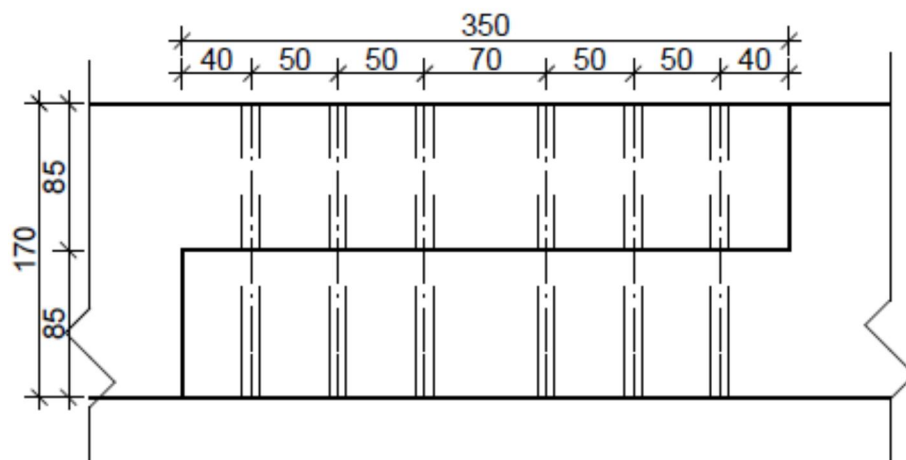
Na krokve bol navrhnutý jedno strižný spoj, spojovacím prostriedkom sú svorníky. Geometria a uloženie svorníkov je zobrazené na obr. 11.4.1  
 Spoj pozostáva z 18 svorníkov, priemeru 10 mm.  
 Veľkosť spoja je 350 mm.  
 Charakteristická únosnosť jedného spojovacieho prostriedku je  $F_{v,Rd} = 4774,368 \text{ N}$   
 Maximálna pôsobiaca sily na jeden spojovací prostriedok je  $F_{Ed} = 4535,363 \text{ N}$

Tab. 11.4 Rozstupy a vzdialenosť

	MIN	NÁVRH	POSÚDENIE
$a_1$	50	50	VYHOVUJE
$a_2$	40	45	VYHOVUJE
$a_3$	40	40	VYHOVUJE
$a_4$	40	40	VYHOVUJE



Obr. 11.4.1 Spoj na krokve



Obr. 11.4.2 Rez spojom na krokve

## 12. Záver

Predmetom tejto bakalárskej práce bola rekonštrukcia historického krovu koniarne v komplexe zámku Žehušice. Rekonštrukcia bola nutná z dôvodu poškodenia pôvodnej konštrukcie, ktoré bolo spôsobené škodcami, pôsobením vody a drevokazných húb. Miesta poškodenia boli zistené makroskopickým prieskumom danej konštrukcie, ktoré boli poskytnuté firmou A+Z Projekt Team s.r.o., ktorá túto rekonštrukciu realizovala. Bol uskutočnený návrh a posúdenie nových, nahradených časti - protéz. Taktiež bolo nutné navrhnuť a posúdiť spoje, ktoré spájajú nové, vymenené prvky s pôvodnými prvkami historického krovu.

Boli teda navrhnuté 4 spoje na poškodených nosných prvkoch pôvodnej konštrukcie. V plnej väzbe krovu to bol šikmý stĺpik, väzný trám a krokva a v jalovej väzbe to bol prvok dolnej väznice. Na každom rekonštruovanom prvku bolo nutné posúdiť celý prierez, oslabený prierez – teda polovičný, ktorý sa nachádza v spoji a samotný spoj. Posudky boli vypočítaný podľa ČSN EN 1995-1-1 Navrhovanie drevených konštrukcií. Vnútorné sily boli spočítané pomocou programu Scia Engeneering, v ktorom bol vytvorený priestorový výpočtový model charakteristického výseku konštrukcie, vymodelovaný na základe pôvodnej projektovej dokumentácie.

Konštrukcia ako taká však nebola znova posudzovaná, predpokladáme totiž, že má dostatočnú únosnosť, keďže nevykazuje viditeľné deformácie.

## 13. Literatúra

- [1] ČSN EN 1995-1-1. *Eurokód 5: Navrhování dřevěných konstrukcí – část 1-1: Obecná pravidla – Společná pravidla a pravidla pro pozemní stavby.* Praha: Úřad pro technickou normalizaci, metrologii a státní zkušebnictví, 2006.114 stran. Třídící znak: 73 1701.
- [2] ČSN EN 1990. *Eurokód :Zásady navrhování konstrukcí.* Praha: Úřad pro technickou normalizaci, metrologii a státní zkušebnictví, 2004.75 stran. Třídící znak: 73 0002.
- [3] ČSN EN 1991-1-1. *Eurokód 1: Zatížení konstrukce - Část 1-1. Obecná zatížení – Objemové tíhy, vlastní tíhy a užitná zatížení pozemních staveb.* Praha: Úřad pro technickou normalizaci, metrologii a státní zkušebnictví, 2003.43 stran. Třídící znak: 73 0035.
- [4] ČSN EN 1991-1-1. *Eurokód 1: Zatížení konstrukce - Část 1-3. Obecná zatížení – Zatížení sněhem.* Praha: Úřad pro technickou normalizaci, metrologii a státní zkušebnictví, 2004.37 stran. Třídící znak: 73 0035.
- [5] ČSN EN 1991-1-1. *Eurokód 1: Zatížení konstrukce - Část 1-4. Obecná zatížení – Zatížení větrem.* Praha: Úřad pro technickou normalizaci, metrologii a státní zkušebnictví, 2007.129 stran. Třídící znak: 73 0035.
- [6]BÁČOVÁ, Marie a Bohumil KOŽELOUH. *Dřevěné konstrukce podle eurokódu: Step 2- Navrhování detailů a nosných systému.* Informační centrum ČKAIT. 2007. ISBN 8086769135.
- [7]KUKLÍK, Petr a Anna KUKLÍKOVÁ. *Navrhování dřevěných konstrukcí – Příručka k ČSN 1995-1-1*Informační centrum ČKAIT. 2010. ISBN 9788087093887.
- [8][WWW.FCE.VUTBR.CZ](http://WWW.FCE.VUTBR.CZ), *Spoje ocelových konstrukcí*,[online]. 2011 [cit. 2013-05-19]. Dostupné z: [http://www.fce.vutbr.cz/KDK/pilgr.m/BO02/BO02\\_cvi\\_02.pdf](http://www.fce.vutbr.cz/KDK/pilgr.m/BO02/BO02_cvi_02.pdf)
- [9]WWW.ZEHUSICE.CZ, *Žehušice*,[online]. 2010 [cit. 2013-05-19]. Dostupné z: [http://www.zehusice.cz/zehusice/Zehusice\\_turist.html](http://www.zehusice.cz/zehusice/Zehusice_turist.html)

## 14. Zoznam použitých skratiek

### Veľké latinské písmená

$A$	plocha prierezu
$E_{0,05}$	hodnota 5 %-ného kvantilu modulu pružnosti
$E_{\text{mean}}$	priemerná hodnota modulu pružnosti
$F$	sila
$F_{\text{ax},\text{Ed}}$	návrhová sila v smere osi spájacieho prostriedku
$F_{\text{ax},\text{Rd}}$	návrhová odolnosť spájacieho prostriedku proti vytiahnutiu
$F_{\text{ax},\text{Rk}}$	charakteristická hodnota odolnosti spájacieho prostriedku proti vytiahnutiu
$F_c$	tlaková sila
$F_d$	návrhová sila
$F_t$	ťahová sila
$F_{v,\text{Ed}}$	návrhová odolnosť proti ustrihnutiu jedného spájacieho prostriedku v jednej šmykovej
škáre	
$F_{v,\text{Rd}}$	návrhová odolnosť jedného spájacieho prostriedku v jednej strihovej škáre; návrhová odolnosť výstužnej steny
$F_{v,\text{Rk}}$	charakteristická hodnota odolnosti jedného spájacieho prostriedku v jednej strihovej škáre
$G_{0,05}$	5 %-ný kvantil modulu pružnosti v šmyku
$G_{\text{mean}}$	priemerná hodnota modulu pružnosti v šmyku
$I_z$	moment 2. stupňa plochy ku slabej osi
$M_d$	návrhový moment
$M_{y,\text{Rk}}$	charakteristická hodnota plastického momentu spájacieho prostriedku
$N$	normálová sila
$R_{\text{ax},\text{d}}$	návrhová hodnota odolnosti spoja zaťaženého v smere osi
$R_{\text{ax},\text{k}}$	charakteristická hodnota odolnosti spoja zaťaženého v smere osi
$R_d$	návrhová hodnota odolnosti
$R_k$	charakteristická hodnota odolnosti
$W_y$	prierezový modul prierezu k osi $y$
$X_d$	návrhová hodnota pevnostnej vlastnosti
$X_k$	charakteristická hodnota pevnostnej vlastnosti

### Malé latinské písmená

$a$	vzdialenosť
$a_1$	vzdialenosť spájacích prostriedkov v smere vláken
$a_2$	vzdialenosť radov spájacích prostriedkov v smere kolmom na vlákna
$a_{3,c}$	vzdialenosť spájacieho prostriedku od nenamáhaného konca dreva
$a_{3,t}$	vzdialenosť spájacieho prostriedku od namáhaného konca dreva
$a_{4,c}$	vzdialenosť spájacieho prostriedku od nenamáhaného okraja dreva
$a_{4,t}$	vzdialenosť spájacieho prostriedku od namáhaného okraja dreva
$b$	šírka
$d$	priemer
$f_{\text{ax},\text{k}}$	charakteristická hodnota parametra pri vytáhovaní klinca
$f_{c,0,\text{d}}$	návrhová hodnota pevnosti v tlaku v smere vláken
$f_{c,90,\text{k}}$	charakteristická hodnota pevnosti v tlaku kolmo na vlákna
$f_{m,k}$	charakteristická hodnota pevnosti v ohybe
$f_{m,y,d}$	návrhová hodnota pevnosti v ohybe okolo hlavnej osi $y$
$f_{m,z,d}$	návrhová hodnota pevnosti v ohybe okolo hlavnej osi $z$
$f_{m,\alpha,\text{d}}$	návrhová hodnota pevnosti v ohybe pod uhlom $\alpha$ k vláknам
$f_{t,0,\text{d}}$	návrhová hodnota pevnosti v ťahu v smere vláken
$f_{t,0,k}$	charakteristická hodnota pevnosti v ťahu v smere vláken
$f_{t,90,\text{d}}$	návrhová hodnota pevnosti v ťahu kolmo na vlákna

$f_{v,0,d}$	návrhová hodnota pevnosti v strihu pri doskovom namáhaní
$f_{v,d}$	návrhová hodnota pevnosti v šmyku
$h$	výška; výška steny
$k_{c,y}, k_{c,z}$	súčinitele vzperu
$k_{crit}$	faktor straty stability ohybom z roviny
$k_m$	faktor rozdelenia ohybových napäťí v priereze
$k_{mod}$	modifikačný faktor trvania zaťaženia a vlhkosti dreva
$k_v$	zmenšujúci faktor nosníkov s výrezom
$k_y, k_z$	súčinitele vzperu
$l$	rozpätie; kontaktná dĺžka

**Malé grécke písmená**

$\alpha$	uhol medzi smerom $x$ a silou pri kovovej doske s prelisovanými tŕňmi; uhol medzi silou a smerom vláken; uhol medzi smerom sily a namáhaným koncom dreva
$\lambda_y$	štíhlostný pomer pre stratu stability ohybom okolo osi $y$
$\lambda_z$	štíhlostný pomer pre stratu stability ohybom okolo osi $z$
$\lambda_{rel,y}$	pomerná štíhlosť pre stratu stability ohybom okolo osi $y$
$\lambda_{rel,z}$	pomerná štíhlosť pre stratu stability ohybom okolo osi $z$
$\rho_k$	charakteristická hodnota hustoty
$\rho_m$	priemerná hodnota hustoty
$\sigma_{c,0,d}$	návrhová hodnota napäťia v tlaku v smere vláken
$\sigma_{c,\alpha,d}$	návrhová hodnota napäťia v tlaku pod uhlom $\alpha$ k smeru vláken
$\sigma_{m,crit}$	kritické ohybové napätie
$\sigma_{m,y,d}$	návrhová hodnota napäťia od ohybu okolo hlavnej osi $y$
$\sigma_{m,z,d}$	návrhová hodnota napäťia od ohybu okolo hlavnej osi $z$
$\sigma_{m,\alpha,d}$	návrhová hodnota ohybového napäťia pod uhlom $\alpha$ k smeru vláken
$\sigma_{t,0,d}$	návrhová hodnota ďahového napäťia v smere vláken
$\sigma_{t,90,d}$	návrhová hodnota ďahového napäťia kolmo na vlákna
$\tau_d$	návrhová hodnota šmykového napäťia

## 15. Zoznam príloh

<b>16.1 Výpočet zatŕaženie snehom</b>	55
<b>16.2 Výpočet zatŕaženia vetrom</b>	56
<b>16.3 Materiálová charakteristiky</b>	60
<b>16.4 Posúdenie väznice</b>	
16.4.1 Posúdenie plného prierezu	61
16.4.2 Posúdenie polovičného prierez	67
16.4.3 Posúdenie spoja	72
<b>16.5 Posúdenie väzného trámu</b>	
16.5.1 Posúdenie plného prierezu	77
16.5.2 Posúdenie polovičného prierezu	80
16.5.3 Posúdenie spoja	83
<b>16.6 Posúdenie šikmého stĺpika</b>	
16.6.1 Posúdenie plného prierezu	88
16.6.2 Posúdenie polovičného prierezu	93
16.6.3 Posúdenie spoja	97
<b>16.7 Posúdenie krokve</b>	
16.7.1 Posúdenie plného prierezu	103
16.7.2 Posúdenie polovičného prierezu	108
16.7.3 Posúdenie spoja	112